

Free Vibration Analysis of Grid Stiffened Doubly Curved Composite Shells Using a Refined Higher Order Theory

Reza Kohandani¹, Ali Davar^{2*} , Mohsen Heydari Beni³, Jafar Eskandari Jam⁴ and Majid Eskandari Shahraki⁵

1. M.Sc. Student, Faculty of Materials and Manufacturing Technologies, Malek Ashtar University of Technology, Tehran, Iran
2. Assistant professor, Faculty of Materials and Manufacturing Technologies, Malek Ashtar University of Technology, Tehran, Iran
3. Ph.D. Student, Faculty of Materials and Manufacturing Technologies, Malek Ashtar University of Technology, Tehran, Iran
4. Professor, Faculty of Materials and Manufacturing Technologies, Malek Ashtar University of Technology, Tehran, Iran
5. Ph.D. Student, Faculty of Engineering, Ferdowsi University of Mashhad, Mashhad, Iran

*Corresponding Author's E-mail: dvar78@gmail.com

Abstract

In this research the free vibration analysis of simply supported grid stiffened doubly curved shells by using a refined higher order theory is presented. The advantage of the present theory in comparison with other higher order theories is investigation of the effects of trapezoidal shape factor in the stress resultants in order to obtain more accurate frequency results. The governing equations of motion and boundary conditions are obtained using Hamilton's principle and solved by using the Galerkin method. In the case of grid stiffened shells, a distribution function is introduced for describing the physical discontinuity between the ribs and the bays. The results are validated by making comparison to those existed in the literature or those obtained using the present numerical simulation in ABAQUS/Standard solver. In most cases, validations illustrated excellent agreement between the results. Finally, the effects of geometrical properties, material property and layup on the frequency responses of the shell are discussed.

Keywords: Free vibration, Doubly curved shells, Composite, Grid stiffened structure, Higher order shell theory, Trapezoidal shape factor




COPYRIGHTS

© 2022 by the authors. Published by Aerospace Research Institute. This article is an open access article distributed under the terms and conditions of [the Creative Commons Attribution 4.0 International \(CC BY 4.0\)](https://creativecommons.org/licenses/by/4.0/).

How to cite this article:

R. Kohandani, A. Davar, M. Heydari Beni, J. Eskandari Jam and M. Eskandari Shahraki, "Free Vibration Analysis of Grid Stiffened Doubly Curved Composite Shells Using a Refined Higher Order Theory," *Journal of Space Science and Technology*, Vol. 15, No. 1, pp. 1-20, 2022 (in Persian), <https://doi.org/10.30699/jsst.2022.1363>.

تحلیل ارتعاشات آزاد پوسته‌های مشبک کامپوزیتی دو انحنایی با استفاده از یک تئوری مرتبه بالای تعمیم یافته

رضا کهندانی^۱، علی داور^{۲*} , محسن حیدری بنی^۳، جعفر اسکندری جم^۴، مجید اسکندری شهرکی^۵

۱، ۲، ۳ و ۴- مجتمع دانشگاهی مواد و فناوری‌های ساخت، دانشگاه صنعتی مالک اشتر، تهران، ایران

۵- دانشکده مهندسی، دانشگاه فردوسی، مشهد، ایران

*ایمیل نویسنده مخاطب: davar78@gmail.com

چکیده

در این مقاله به تحلیل ارتعاشات آزاد پوسته‌های مشبک کامپوزیتی دو انحنایی با استفاده از یک تئوری مرتبه بالای اصلاح شده، تحت شرایط تکیه گاهی ساده پرداخته شده است. مزیت تئوری حاضر نسبت به دیگر تئوری‌های مرتبه بالا، احتساب اثر عبارت ضریب شکل دوزنقه‌ای مقطع پوسته در روابط میدان جابه‌جایی و کرنش است که سبب افزایش دقت نتایج می‌گردد. معادلات تعادل و شرایط مرزی حاکم بر مسئله به کمک اصل هامیلتون استخراج شده و به کمک روش گالرکین حل می‌شود. در پوسته‌های مشبک، توزیع ناپیوسته سفتی و جرم پوسته در ریب‌های تقویت کننده و مواد پرکننده فضای بین ریب‌ها به کمک تابع توزیع مناسب بیان شده است. اعتبارسنجی این پژوهش، با نتایج تحقیقات سایر محققین یا نتایج حل عددی به دست آمده به کمک نرم افزار آباکوس صورت گرفته است، در اکثر موارد، انطباق عالی بین نتایج تئوری حاضر و نتایج منابع دیگر حاصل شده است. در نهایت، مطالعه پارامتری صورت پذیرفته است که در آن اثر تغییر در پارامترهای مختلف هندسی، جنس ماده و نوع لایه چینی در پوسته‌های ایزوتروپیک و کامپوزیتی مورد بررسی واقع شده است.

واژه‌های کلیدی: ارتعاشات آزاد، پوسته‌های دو انحنایی، کامپوزیت، سازه مشبک، تئوری مرتبه بالای پوسته، عبارت شکل دوزنقه‌ای مقطع پوسته

علائم و اختصارات	
γ_0	اثر ترم دوزنقه‌ای
k	شماره لایه چندلایه
θ	زاویه چرخش الیاف
$\bar{\sigma}$	متجه‌های تنش
$\bar{\epsilon}$	مؤلفه‌های کرنش
K_0	ضریب تصحیح برشی
D	ماتریس سفتی
U	انرژی کرنشی
K	انرژی جنبشی
W	کار ناشی از نیروهای خارجی
L_{ij}	عملگر دیفرانسیلی
$Q_{ij}(x, y)$	سفتی کل
Q_{ij}^{rib}	سفتی ریب‌ها
Q_{ij}^{bay}	سفتی مواد پرکننده
$HP(x, y)$	تابع توزیع
$R_{y, R_x, \Gamma_y, \Gamma_x}$	شعاع‌های متوسط پوسته دو انحنایی
h	ضخامت پوسته
a, b	طول و عرض پوسته
v_0, u_0	متغیرهای جابه‌جایی‌های درون صفحه
w_0	متغیر جابه‌جایی خارج از صفحه
θ_y, θ_x	چرخش‌های خط عمود بر سطح میانی
FSDT	تئوری مرتبه اول تغییر شکل برشی
HOST	تئوری مرتبه بالای تغییر شکل برشی

۱. دانشجوی کارشناسی ارشد
۲. استادیار
۳. دانشجوی دکتری
۴. استاد
۵. دانشجوی دکتری

عمومی‌تر دارند که با استفاده از نتایج تحلیل آن‌ها و بهره‌گیری از فرمولاسیون استخراج شده، می‌توان به تحلیل هندسه‌های تک انحنایی نیز پرداخت.

امیدواران^۶ در سال‌های ۱۹۷۱ و ۱۹۷۳ روش حلی را برای تعیین فرکانس‌های پایایی ارتعاشات یک ورق با تقویت‌کننده مشبک و تحت شرایط تکیه‌گاهی ساده را ارائه داده است. او خواص مشبک را در جهت‌های عمود بر هم متفاوت در نظر گرفت و از رویکرد ماکرومکانیک برای رسیدن به نتیجه بهره برده است [۱، ۲].

خاره^۷ و همکاران، در سال ۲۰۰۵، با استفاده از دو تئوری مرتبه بالای تغییر شکل برشی، به تحلیل ترمومکانیکی و ارتعاشات آزاد پوسته‌های ضخیم دو انحنایی ساندویچی با لایه‌چینی متقاطع، تحت شرایط تکیه‌گاهی ساده پرداخته‌اند. یکی از این تئوری‌ها هم اثر تنش‌ها و کرنش‌های برشی عرضی و هم اثر تنش‌ها و کرنش‌های عمودی را در نظر می‌گرفت، در حالی که تئوری دیگر تنها اثر تغییر شکل برشی عرضی را محاسبه می‌کرد. نتایج تحلیل، با حل‌های دقیق الاستیسیته سه‌بعدی و حل‌های فرم بسته ارائه شده در مقاله، مقایسه شده و حاکی از نزدیک بودن نتایج حاصله به پاسخ‌های دقیق بوده است [۳].

در سال ۲۰۰۶، تورانی و لاکیس^۸ به بررسی نیمه‌تحلیلی پاسخ دینامیکی پوسته استوانه‌ای کامپوزیتی چندلایه و نامتقارن پرداختند. در این تحقیق، اثرات تغییر شکل برشی و اینرسی چرخشی لحاظ گردیده است. روش مورد استفاده، ترکیبی از روش اجزای محدود هیبریدی و تئوری پوسته همراه با کرنش‌های برشی عرضی است. نتایج حاصله با دیگر نتایج موجود تطابق خوبی داشت [۴].

کاندو و هان^۹ در سال ۲۰۰۹، به بررسی مشخصه‌های ارتعاشی پیش‌کمانش و پس‌کمانش پوسته‌های دو انحنایی کامپوزیتی پرداخته‌اند. به سبب تغییر در شرایط محیطی، تنش‌های حرارتی - رطوبتی پس‌مانده ممکن است باعث ایجاد کمانش و ناپایداری دینامیکی در این سازه‌ها شوند. در این تحلیل از روش اجزای محدود استفاده شده است و نتایج عددی مثال‌های غیرخطی و فرکانس‌های اصلی همراه با شکل خمش‌ها و شکل مودها ارائه و بحث شده است. نتایج آنها نشان داد که با کاهش ضخامت، نقطه اوج کمانش کاهش می‌یابد، فرکانس اصلی در پیش‌کمانش کاهش و در پس‌کمانش افزایش می‌یابد و همچنین با افزایش شعاع انحنای فرکانس اصلی کاهش می‌یابد. در اثر بارگذاری حرارتی، پدیده تغییر جهت در انحناء برای پانل‌های استوانه‌ای مشاهده می‌گردد. رفتار خمشی غیرخطی هندسی، مشخصه‌های ارتعاشی را در محیط‌های حرارتی - رطوبتی تحت تأثیر قرار می‌دهد [۵].

Q_{ij}^{ϕ}	سفتی ریب‌های در جهت f
HP^{ϕ}	تابع توزیع ریب‌های در جهت f
E	مدول یانگ
G	مدول برشی
ν	ضریب پواسون
RHOST12, HOST12	تئوری ارائه شده در پژوهش حاضر
PSDT	تئوری مرجع [۱۹]
$u(x,y,z,t)$	مؤلفه جابه‌جایی در جهت X
$v(x,y,z,t)$	مؤلفه جابه‌جایی در جهت Y
$w(x,y,z,t)$	مؤلفه جابه‌جایی در جهت Z
m_x, n_y	تعداد خانه‌های مشبک

مقدمه

با پیشرفت علم مواد و فناوری تولید، مواد کامپوزیتی به سرعت توسعه یافتند و به سبب ویژگی‌های بدیع خود نظیر استحکام و سفتی ویژه، ضد خوردگی و دارا بودن قابلیت طراحی و غیره در بسیاری موارد می‌تواند جایگزین مناسبی برای مواد مرسوم نظیر فولاد و بتن باشد. در بین این مواد، سازه‌های کامپوزیتی با تقویت‌کننده‌های مشبک به جهت کارایی بالای سازه‌ای و هزینه پایین، مورد مطالعه بسیاری از پژوهشگران واقع شدند و از قرن نوزدهم میلادی به بعد، استفاده از سازه‌های مشبک باهدف افزایش استحکام در مهندسی گسترش یافت. از جمله کاربردهای این سازه‌ها استفاده در هواپیماها، پوسته کشتی‌ها، خودروها، سکوها نفتی، پل‌ها، ادوات نظامی و غیره است.

مطالعه پیرامون رفتار استاتیکی، دینامیکی و پایداری سازه‌های کامپوزیتی تحت بارگذاری‌های مختلف با توجه به موارد کاربرد وسیع آنها، از اهمیت بالایی برخوردار است. به‌ویژه تحلیل ارتعاشی این‌گونه سازه‌ها به‌منظور جلوگیری از تخریب ناشی از پدیده تشدید و همچنین شناسایی فرکانس‌های طبیعی و شکل مودهای مختلف در سازه ضروری به نظر می‌رسد. در همین راستا بررسی ارتعاشات آزاد پوسته‌ها توسط بسیاری از پژوهشگران موردتوجه قرار گرفته است و بدین منظور از روش‌های تحلیلی، عددی و تجربی متعددی بهره گرفته شده است. در بین روش‌های تحلیلی، تئوری‌های مرتبه بالا برای تحلیل پوسته‌های ضخیم و از جمله پوسته‌های کامپوزیتی مورد استفاده بوده و نتایج دقیق‌تری نسبت به دیگر تئوری‌ها در این نوع سازه‌ها به‌دست آمده است. در انواع مشبک پوسته‌های کامپوزیتی پیشرفته، به سبب ماهیت هندسی آن‌ها، پیچیدگی تحلیل بیشتر از پوسته‌های کامپوزیتی معمولی است. همچنین پوسته‌های دو انحنایی در مقایسه با پوسته‌های تک انحناء مانند استوانه، حالتی

6. Onid'Varan

7. Khare

8. Toorani & Lakis

9. Kundu & Han

چندلایه با دو منحنی با نتایج موجود در مقالات و شبیه‌سازی در نرم‌افزار ABAQUS مقایسه شد [۲۱].

هدف از این مقاله، به‌کارگیری مدلی تعمیم‌یافته برای سازه‌های مشبک مختلف متقارن، بدون استفاده از یک مدل معادل است. در تحلیل تئوری، یک تابع توزیع^{۱۴} تعریف می‌شود که تمام حالات فیزیکی پوسته مشبک را به‌طور دقیق توصیف می‌کند. سپس با در نظرگیری مفروضات اصلی تئوری کلاسیک صفحات^{۱۵} و معادلات پوسته‌ها، معادلات اصلی پوسته مشبک به دست می‌آید.

حل مسئله ارتعاشات پوسته‌های دو انحنایی کامپوزیتی و مشبک

برخی از محققان با استفاده از تئوری الاستیسیته سه‌بعدی به تحلیل پوسته‌های کامپوزیتی پرداخته‌اند؛ اما استفاده از تئوری فوق برای پوسته ارتوتروپیک حجم محاسبات زیادی داشته و تحلیل مسئله بسیار پیچیده می‌شود. به همین دلیل تاکنون اکثر محققان با بهره‌گیری از تئوری‌های مرتبه بالای دوبعدی، پوسته‌ها را مورد تحلیل و بررسی قرار داده‌اند.

کتو در سال ۱۹۹۹ نشان داد که میدان جابه‌جایی تئوری تغییر شکل برشی مرتبه اول، با در نظر گرفتن ترم دوزنقه‌ای و محاسبه نتیجه‌های تنش با انتگرال‌گیری به روش دقیق، حتی در مورد پوسته‌های ضخیم، دقت بسیار خوبی در تحلیل دینامیکی دارد. او همچنین نشان داد که این تئوری مرتبه اول در مقایسه با تئوری تغییر شکل برشی مرتبه بالای ردی که این ترم را در محاسبات خود لحاظ نکرده است، به نتایج تحلیل ارتعاشات آزاد به‌دست آمده با استفاده از تئوری الاستیسیته سه‌بعدی بیمارادی برای پوسته‌های ضخیم نزدیک‌تر است [۲۲].

در شکل (۱)، گسترده‌المان مقطع پوسته نشان داده شده است و همان‌طور که مشاهده می‌شود با در نظر گرفتن ضریب شکل دوزنقه‌ای، شکل مستطیل گسترده به‌صورت دوزنقه در نظر گرفته می‌شود که به واقعیت نزدیک‌تر بوده و به همین دلیل دقت پاسخ‌ها را بالا می‌برد.



شکل ۱- المان مقطع پوسته گسترده شده و در نظر گرفتن شکل واقعی دوزنقه به‌جای شکل مستطیل

چرفی و همت^{۱۰} در ۲۰۱۰، ارتعاشات غیرخطی پوسته‌های کم‌عمق با شکل قالب بیضوی و با دو انحناء که از مواد با خواص تدریجی هدفمند ساخته شده باشند را با نسخه پی^{۱۱} از روش اجزاء محدود و معطوف به روش ترکیبی موردبررسی قرار داده‌اند. در محاسبات آن‌ها اثرات تغییر شکل برشی، اینرسی چرخشی و غیرخطی‌های هندسی به کار رفته است. برای استخراج معادلات حرکت آزاد، از روش تعادل هارمونیک بهره گرفته شده است. معادلات برآیند غیرخطی، با تکرار و از روش حالت خطی به دست آمده و مطالعه بر همگرایی جواب و مناسب‌بودن آن انجام گرفته است. در ضمن اثر نمایی کسر حجمی و نسبت ضخامت بر فرکانس‌های خطی و غیرخطی، مورد بحث واقع شده و نشان از تأثیر این پارامترها بر رفتار سخت‌شدن دارد [۶].

صیاد در سال ۲۰۱۰ به تحلیل اثر برش بین لایه‌ای شبکه بر روی کماتش موضعی استوانه مشبک کامپوزیتی پلیمری تحت بارمحوری فشاری بکنواخت پرداخت [۷].

مانتاری و سوارس^{۱۲} در سال ۲۰۱۲، یک تئوری تعمیم‌یافته پنج درجه آزادی مرتبه بالای تغییر شکل برشی را به‌منظور تحلیل مطالعه ارتعاشات آزاد و خمش پوسته‌ها و ورق‌ها ارائه کردند که ممکن است برای ایجاد تئوری‌های مرتبه بالای دیگر از آن استفاده شود. معادلات حاکم و شرایط مرزی فرمولاسیون تعمیم‌یافته با استفاده از اصل کار مجازی به‌دست آمده است و برای حل از روش ناویر استفاده شده است. نتایج حاصل از این تئوری با نتایج تئوری سه‌بعدی الاستیسیته مقایسه شده است و دقت بیشتری را نسبت به دیگر تئوری‌های از این دست، نشان داده است [۸].

عدالت^{۱۳} و همکاران در سال ۲۰۱۳ به تحلیل ارتعاشات آزاد و پاسخ‌های دینامیکی پوسته تقویت‌شده با انحنای سهمی‌گون پرداختند. آن‌ها برای این کار از روش انرژی برای تعیین پارامترهای ارتوتروپیک معادل پوسته استفاده کرده‌اند [۹].

در سال ۲۰۲۰ زارعی و همکارانش خصوصیات ارتعاش آزاد پوسته‌های مخروطی کامپوزیت تقویت شده با گرید را مورد مطالعه قرار دادند. همچنین تأثیر پارامترهای هندسی پوسته و تغییرات زاویه ریب‌های متقاطع بر فرکانس‌های طبیعی مورد بحث و بررسی قرار گرفت [۲۰].

در سال ۲۰۲۱ لیو و همکارانش یک روش اجزا محدود جدید بر اساس نظریه میندین برای پوسته‌های کامپوزیت چند لایه با دو منحنی ارائه کردند و نتایج عددی خمش خطی استاتیکی، ارتعاش پویا و خمش غیرخطی صفحه تخت، پوسته استوانه‌ای و پوسته

$$\begin{aligned} \theta_x &= \frac{\partial u}{\partial z} \Big|_{z=0}, u_0^* = \frac{1}{2} \frac{\partial^2 u}{\partial z^2} \Big|_{z=0}, \theta_x^* = \frac{1}{6} \frac{\partial^3 u}{\partial z^3} \Big|_{z=0} \\ \theta_y &= \frac{\partial v}{\partial z} \Big|_{z=0}, v_0^* = \frac{1}{2} \frac{\partial^2 v}{\partial z^2} \Big|_{z=0}, \theta_y^* = \frac{1}{6} \frac{\partial^3 v}{\partial z^3} \Big|_{z=0} \\ \theta_z &= \frac{\partial w}{\partial z} \Big|_{z=0}, w_0^* = \frac{1}{2} \frac{\partial^2 w}{\partial z^2} \Big|_{z=0}, \theta_z^* = \frac{1}{6} \frac{\partial^3 w}{\partial z^3} \Big|_{z=0} \end{aligned} \quad (2)$$

در رابطه کلی زیر با توجه به تغییرات ضرایب موجود تئوری‌های مختلفی حاصل می‌شود:

$$\begin{aligned} u &= (1 + \frac{\gamma_0 z}{r_x}) u_0 + z \theta_x + C_3 z^2 u_0^* + C_4 z^3 \theta_x^* \\ v &= (1 + \frac{\gamma_0 z}{r_y}) v_0 + z \theta_y + C_3 z^2 v_0^* + C_4 z^3 \theta_y^* \\ w &= w_0 + C_1 z \theta_z + C_1 z^2 w_0^* + C_2 z^3 \theta_z^* \end{aligned} \quad (3)$$

در رابطه (۳) هر یک از ضرایب بسته به نوع تئوری می‌توانند مقدار صفر و یک را به خود بگیرند. شرایط مختلف این ضرایب و تئوری حاصل از آن‌ها در جدول (۱) آمده است:

جدول ۱- اثر تغییر ضرایب مختلف در ایجاد برخی تئوری‌های پوسته

نام تئوری	ضرایب تعیین کننده نوع تئوری				
	C_1	C_2	C_3	C_4	γ_0
FSDT	۰	۰	۰	۰	۰
RFSDT	۰	۰	۰	۰	۱
HOST8	۱	۱	۰	۰	۰
RHOST8	۱	۱	۰	۰	۱
HOST10	۱	۱	۰	۱	۰
RHOST10	۱	۱	۰	۱	۱
HOST12	۱	۱	۱	۱	۰
RHOST12	۱	۱	۱	۱	۱

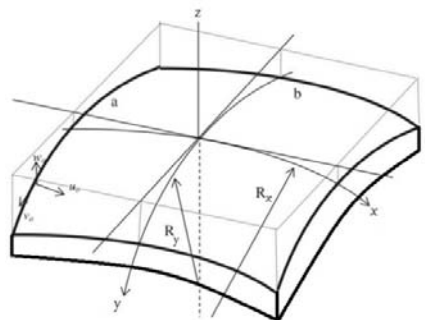
در جدول (۱) منظور از FSDT و HOST به ترتیب تئوری مرتبه اول تغییر شکل برشی و تئوری مرتبه بالای تغییر شکل برشی است در صورتی که $\gamma_0 = 1$ باشد و یا به عبارتی اثر ترم دوزنقه‌ای در محاسبات لحاظ شده باشد، حرف R (Refined)، به ابتدای نام تئوری اضافه می‌شود. همچنین شماره‌های نوشته شده در جلوی نام تئوری‌های مرتبه بالا، متمایز کننده نوع آن تئوری از دیگر تئوری‌ها است.

در پوسته‌های ضخیم ضریب γ_0 در تئوری ارائه شده برابر با یک در نظر گرفته می‌شود، با این عمل اثر شکل دوزنقه‌ای مقطع پوسته لحاظ شده و تئوری اصلاح شده حاصل می‌شود. در پوسته‌های نازک می‌توان از این اثر صرف نظر کرد.

در این بخش از پژوهش، با استفاده از یک تئوری مرتبه بالای تعمیم یافته که در آن اثر ترم دوزنقه‌ای $(1 + z/R)$ در نظر گرفته شده است، بر پایه اصل هامیلتون به استخراج معادلات حاکم و سپس به کمک روش گالرکین به حل آن پرداخته شده است. در مورد پوسته‌های مشبک نیز با استفاده از یک تابع پله‌ای به منظور بیان چگونگی وضعیت فیزیکی سازه، پس از استخراج معادلات و حل آن، ماتریس جرم و سفتی تعیین شده‌اند.

تعیین مؤلفه‌های جابه‌جایی

شکل (۲) یک پوسته دو انحنایی را با شعاع‌های متوسط R_x و R_y ، ضخامت h و ابعاد $a \times b$ را به همراه مختصات مرجع در دستگاه مختصات دو انحنایی (x, y, z) نشان می‌دهد.



شکل ۲- پوسته دو انحنایی (برگرفته از [۱۰])

در این بخش بسط سری تیلور برای توسعه یک فرمولاسیون دوبعدی از یک مسئله الاستیسیته سه‌بعدی مورد استفاده واقع شده است. روابط زیر با بسط مؤلفه‌های جابه‌جایی $u(x, y, z, t)$ ، $v(x, y, z, t)$ و $w(x, y, z, t)$ به ترتیب در سه جهت x ، y و z در هر نقطه از فضای چندلایه برحسب مختصه ضخامت (z) به دست آمده‌اند [۱۱، ۱۲].

$$\begin{aligned} u(x, y, z, t) &= (1 + \gamma_0 z / r_x) u_0(x, y, t) + z \theta_x(x, y, t) + z^2 u_0^*(x, y, t) + z^3 \theta_x^*(x, y, t) \\ v(x, y, z, t) &= (1 + \gamma_0 z / r_y) v_0(x, y, t) + z \theta_y(x, y, t) + z^2 v_0^*(x, y, t) + z^3 \theta_y^*(x, y, t) \\ w(x, y, z, t) &= w_0(x, y, t) + z \theta_z(x, y, t) + z^2 w_0^*(x, y, t) + z^3 \theta_z^*(x, y, t) \end{aligned} \quad (1)$$

u_0 و v_0 متغیرها و جابه‌جایی‌های درون صفحه W_0 و جابه‌جایی خارج از صفحه یک نقطه دلخواه (x, y) بر روی سطح میانی چندلایه است و توابع θ_x و θ_y نمایانگر چرخش‌های خط عمود بر سطح میانی حول محورهای x و y است بقیه متغیرها عبارت‌های مرتبه بالا در بسط تیلور بوده و نماینده مودهای تغییر شکل عرضی مقطع پوسته هستند و به صورت زیر تعریف شده‌اند:

$$\begin{aligned} C_1 \frac{\partial \theta_z}{\partial y} - \gamma_0 \frac{v_0}{r_y^2} - \frac{\theta_y}{r_y}, \varphi_{y0}^* &= C_1 \frac{\partial w_0^*}{\partial y} - \\ C_3 \frac{v_0^*}{r_y}, \chi_{yz0} &= C_2 \frac{\partial \theta_z^*}{\partial y} - C_4 \frac{\theta_y^*}{r_y}, \varphi_{y1}^* = \gamma_0 \frac{v_0}{r_y} + \\ \theta_y, \chi_{yz1} &= 2C_3 v_0^*, \varphi_{y1}^* = 3C_4 \theta_y^* \end{aligned}$$

روابط تنش- کرنش و منتجه‌های تنش

روابط تنش-کرنش سه‌بعدی برای لایه k ام از یک چندلایه ارتوتروپیک در دستگاه مختصات منحنی‌الخط و منطبق بر محوره‌های اصلی ماده به‌صورت زیر تعریف شده است:

$$\begin{pmatrix} \sigma_1 \\ \sigma_2 \\ \sigma_3 \\ \tau_{12} \\ \tau_{13} \\ \tau_{23} \end{pmatrix}^k = \begin{bmatrix} C_{11} & C_{12} & C_{13} & 0 & 0 & 0 \\ C_{12} & C_{22} & C_{23} & 0 & 0 & 0 \\ C_{13} & C_{23} & C_{33} & 0 & 0 & 0 \\ 0 & 0 & 0 & C_{44} & 0 & 0 \\ 0 & 0 & 0 & 0 & C_{55} & 0 \\ 0 & 0 & 0 & 0 & 0 & C_{66} \end{bmatrix}^k \begin{pmatrix} \varepsilon_1 \\ \varepsilon_2 \\ \varepsilon_3 \\ \gamma_{12} \\ \gamma_{13} \\ \gamma_{23} \end{pmatrix}^k \quad (7)$$

که در رابطه بالا درایه‌های ماتریس سفتی به‌صورت زیر است [۱۲]:

$$\begin{aligned} C_{13} = C_{11} &= \frac{E_{11}(1-\nu_{23}\nu_{32})}{\nu^*}, C_{12} = \frac{E_{11}(\nu_{21}+\nu_{31}\nu_{23})}{\nu^*}, \\ \frac{E_{11}(\nu_{31}+\nu_{21}\nu_{32})}{\nu^*} C_{22} &= \frac{E_{22}(1-\nu_{13}\nu_{31})}{\nu^*}, C_{23} = \\ \frac{E_{22}(\nu_{32}+\nu_{12}\nu_{31})}{\nu^*}, C_{33} &= \frac{E_{33}(1-\nu_{12}\nu_{21})}{\nu^*} C_{44} = \\ G_{12}, C_{55} = G_{13}, C_{66} &= G_{23} \nu^* = (1 - \nu_{12}\nu_{21} - \\ \nu_{23}\nu_{32} - \nu_{13}\nu_{31} - 2\nu_{21}\nu_{32}\nu_{13}) \end{aligned} \quad (8)$$

در روابط (۸) مدول‌های یانگ، مدول‌های برشی و ضرایب

پواسون به‌صورت زیر به هم مرتبط هستند:

$$\begin{aligned} \frac{\nu_{12}}{E_{11}} = \frac{\nu_{21}}{E_{22}}, \frac{\nu_{13}}{E_{11}} = \frac{\nu_{31}}{E_{33}}, \frac{\nu_{23}}{E_{22}} = \frac{\nu_{32}}{E_{33}} \\ G_{12} = \frac{E_{11}}{2(1+\nu_{21})}, G_{13} = \frac{E_{11}}{2(1+\nu_{31})}, \\ G_{23} = \frac{E_{22}}{2(1+\nu_{32})} \end{aligned} \quad (9)$$

در صورتی که محوره‌های مختصات اصلی و محوره‌های اصلی ماده بر هم منطبق نباشند، تنش‌ها و کرنش‌ها به‌صورت زیر باهم رابطه دارند [۱۲]:

$$\begin{pmatrix} \sigma_x \\ \sigma_y \\ \sigma_z \\ \sigma_{xy} \\ \sigma_{xz} \\ \sigma_{yz} \end{pmatrix} = \begin{bmatrix} Q_{11} & Q_{12} & Q_{13} & Q_{14} & 0 & 0 \\ Q_{12} & Q_{22} & Q_{23} & Q_{24} & 0 & 0 \\ Q_{13} & Q_{23} & Q_{33} & Q_{34} & 0 & 0 \\ Q_{14} & Q_{24} & Q_{34} & Q_{44} & 0 & 0 \\ 0 & 0 & 0 & 0 & Q_{55} & Q_{56} \\ 0 & 0 & 0 & 0 & Q_{56} & Q_{66} \end{bmatrix} \begin{pmatrix} \varepsilon_x \\ \varepsilon_y \\ \varepsilon_z \\ \gamma_{xy} \\ \gamma_{xz} \\ \gamma_{yz} \end{pmatrix} \quad (10)$$

که در آن‌ها ثوابت الاستیک ماده ارتوتروپیک مربوطه به لایه k ام به‌صورت زیر تعریف شده‌اند [۱۲]:

تعریف روابط کرنش جابه‌جایی

با استفاده از تئوری الاستیسیته، روابط مربوط به کرنش پوسته‌های دو انحنایی در دستگاه مختصات منحنی‌الخط به‌صورت زیر است [۱۳، ۱۴]:

$$\begin{aligned} \varepsilon_x &= \left(\frac{1}{1+\frac{\gamma_0^2}{r_x^2}} \right) \left(\frac{\partial u}{\partial x} + \frac{w}{r_x} \right), \varepsilon_y = \left(\frac{1}{1+\frac{\gamma_0^2}{r_y^2}} \right) \left(\frac{\partial v}{\partial y} + \frac{w}{r_y} \right) \\ \gamma_{yz} &= \left(\frac{1}{1+\frac{\gamma_0^2}{r_y^2}} \right) \left(\frac{\partial w}{\partial y} - \frac{v}{r_y} \right) + \left(\frac{\partial v}{\partial z} \right), \varepsilon_z = \left(\frac{\partial w}{\partial z} \right) \\ \gamma_{xz} &= \left(\frac{1}{1+\frac{\gamma_0^2}{r_x^2}} \right) \left(\frac{\partial w}{\partial x} - \frac{u}{r_x} \right) + \left(\frac{\partial u}{\partial z} \right) \end{aligned} \quad (4)$$

با جایگذاری جملات مربوط به جابه‌جایی‌ها از رابطه (۱) در روابط (۴) و دسته‌بندی مجدد آن‌ها می‌توان به روابط زیر دست یافت:

$$\begin{aligned} \varepsilon_y = \varepsilon_x &= \left(\frac{1}{1+\frac{\gamma_0^2}{r_x^2}} \right) (\varepsilon_{x0} + z\chi_x + z^2\varepsilon_{x0}^* + z^3\chi_x^*) \\ \left(\frac{1}{1+\frac{\gamma_0^2}{r_y^2}} \right) (\varepsilon_{y0} + z\chi_y + z^2\varepsilon_{y0}^* + z^3\chi_y^*) \varepsilon_z &= \\ (\varepsilon_{z0} + z\chi_z + z^2\varepsilon_{z0}^*) \gamma_{xy} &= \left(\frac{1}{1+\frac{\gamma_0^2}{r_x^2}} \right) (\varepsilon_{xy0} + \\ z\chi_{xy} + z^2\varepsilon_{xy0}^* + z^3\chi_{xy}^*) + \left(\frac{1}{1+\frac{\gamma_0^2}{r_y^2}} \right) (\varepsilon_{yx0} + \\ z\chi_{yx} + z^2\varepsilon_{yx0}^* + z^3\chi_{yx}^*) \gamma_{xz} &= \left(\frac{1}{1+\frac{\gamma_0^2}{r_x^2}} \right) (\varphi_{x0} + \\ z\chi_{xz0} + z^2\varphi_{x0}^* + z^3\chi_{xz0}^*) + (\varphi_{x1} + z\chi_{xz1} + \\ z^2\varphi_{x1}^*) + (\varphi_{y1} + z\chi_{yz1} + z^2\varphi_{y1}^*) \gamma_{yz} &= \\ \left(\frac{1}{1+\frac{\gamma_0^2}{r_y^2}} \right) (\varphi_{y0} + z\chi_{yz0} + z^2\varphi_{y0}^* + z^3\chi_{yz0}^*) \end{aligned} \quad (5)$$

در روابط (۵) جملات به‌صورت زیر تعریف شده‌اند:

$$\begin{aligned} \varepsilon_{x0} = \frac{\partial u_0}{\partial x} + \frac{w_0}{r_x}, \chi_x = \gamma_0 \frac{1}{r_x} \frac{\partial u_0}{\partial x} + \frac{\partial \theta_x}{\partial x} + \\ \varepsilon_{x0}^* = C_3 \frac{\partial u_0^*}{\partial x} + C_1 \frac{w_0^*}{r_x}, \chi_x^* = C_4 \frac{\partial \theta_x^*}{\partial x} + C_1 \frac{\theta_z}{r_x}, \\ C_2 \frac{\theta_z^*}{r_x} \varepsilon_{y0} = \frac{\partial v_0}{\partial y} + \frac{w_0}{r_y}, \chi_y = \gamma_0 \frac{1}{r_y} \frac{\partial v_0}{\partial y} + \\ \frac{\partial \theta_y}{\partial y} + C_1 \frac{\theta_z}{r_y}, \varepsilon_{y0}^* = C_3 \frac{\partial v_0^*}{\partial y} + C_1 \frac{w_0^*}{r_y}, \chi_y^* = \\ C_4 \frac{\partial \theta_y^*}{\partial y} + C_2 \frac{\theta_z^*}{r_y}, \varepsilon_{z0} = C_1 \theta_z, \chi_z = \\ 2C_1 w_0^*, \varepsilon_{z0}^* = 3C_2 \theta_z^*, \varepsilon_{xy0} = \frac{\partial v_0}{\partial x}, \chi_{xy} = \\ \gamma_0 \frac{1}{r_y} \frac{\partial v_0}{\partial x} + \frac{\partial \theta_y}{\partial x}, \varepsilon_{xy0}^* = C_3 \frac{\partial v_0^*}{\partial x}, \chi_{xy}^* = \\ C_4 \frac{\partial \theta_y^*}{\partial x} \varepsilon_{yx0} = \frac{\partial u_0}{\partial y}, \chi_{yx} = \gamma_0 \frac{1}{r_x} \frac{\partial u_0}{\partial y} + \frac{\partial \theta_x}{\partial y}, \\ \varepsilon_{yx0}^* = C_3 \frac{\partial u_0^*}{\partial y}, \chi_{yx}^* = C_4 \frac{\partial \theta_x^*}{\partial y}, \varphi_{x0} = \frac{\partial w_0}{\partial x} - \\ \frac{u_0}{r_x}, \chi_{xz0} = C_1 \frac{\partial \theta_z}{\partial x} - \gamma_0 \frac{u_0}{r_x^2} - \frac{\theta_x}{r_x}, \varphi_{x0}^* = \\ C_1 \frac{\partial w_0^*}{\partial x} - C_3 \frac{u_0^*}{r_x}, \chi_{xz0}^* = C_2 \frac{\partial \theta_z^*}{\partial x} - \\ C_4 \frac{\theta_x^*}{r_x}, \varphi_{x1} = \gamma_0 \frac{u_0}{r_x} + \theta_x, \chi_{xz1} = 2C_3 u_0^*, \\ \varphi_{x1}^* = 3C_4 \theta_x^*, \varphi_{y0} = \frac{\partial w_0}{\partial y} - \frac{v_0}{r_y}, \chi_{yz0} = \end{aligned} \quad (6)$$

$$\begin{bmatrix} N_x & N_x^* & M_x & M_x^* \\ N_y & N_y^* & M_y & M_y^* \\ N_z & N_z^* & M_z & - \\ N_{xy} & N_{xy}^* & M_{xy} & M_{xy}^* \\ N_{yx} & N_{yx}^* & M_{yx} & M_{yx}^* \\ Q_x & Q_x^* & S_x & S_x^* \\ R_x & R_x^* & T_x & - \\ Q_y & Q_y^* & S_y & S_y^* \\ R_y & R_y^* & T_y & - \end{bmatrix} = \sum_{i=1}^{n_i} \int_{z_i}^{z_{i+1}} \begin{bmatrix} A_1 Q_{11} & A_2 Q_{12} & A_2 Q_{13} & A_2 Q_{14} & A_2 Q_{14} & 0 & 0 & 0 & 0 \\ A_1 Q_{22} & A_2 Q_{22} & A_2 Q_{23} & A_2 Q_{24} & A_2 Q_{24} & 0 & 0 & 0 & 0 \\ A_1 A_2 Q_{13} & A_1 A_2 Q_{23} & A_1 A_2 Q_{33} & A_1 A_2 Q_{34} & A_1 A_2 Q_{34} & 0 & 0 & 0 & 0 \\ A_2 Q_{14} & A_2 Q_{24} & A_2 Q_{34} & A_2 Q_{44} & A_2 Q_{44} & 0 & 0 & 0 & 0 \\ A_1 Q_{14} & A_1 Q_{24} & A_1 Q_{34} & A_1 Q_{44} & A_1 Q_{44} & 0 & 0 & 0 & 0 \\ 0 & 0 & 0 & 0 & 0 & A_2 Q_{55} & A_2 Q_{55} & A_2 Q_{56} & A_2 Q_{56} \\ 0 & 0 & 0 & 0 & 0 & A_1 A_2 Q_{55} & A_1 A_2 Q_{55} & A_1 A_2 Q_{56} & A_1 A_2 Q_{56} \\ 0 & 0 & 0 & 0 & 0 & A_1 Q_{56} & A_1 Q_{56} & A_1 Q_{56} & A_1 Q_{56} \\ 0 & 0 & 0 & 0 & 0 & A_1 A_2 Q_{56} & A_1 A_2 Q_{56} & A_1 A_2 Q_{56} & A_1 A_2 Q_{56} \end{bmatrix} \times \begin{bmatrix} \left(\frac{1}{A_1}\right)(\varepsilon_{x0} + z\chi_x + z^2\varepsilon_{x0}^* + z^3\chi_x^*) \\ \left(\frac{1}{A_2}\right)(\varepsilon_{y0} + z\chi_y + z^2\varepsilon_{y0}^* + z^3\chi_y^*) \\ (\varepsilon_{z0} + z\chi_z + z^2\varepsilon_{z0}^*) \\ \left(\frac{1}{A_1}\right)(\varepsilon_{xy0} + z\chi_{xy} + z^2\varepsilon_{xy0}^* + z^3\chi_{xy}^*) \\ \left(\frac{1}{A_2}\right)(\varepsilon_{yx0} + z\chi_{yx} + z^2\varepsilon_{yx0}^* + z^3\chi_{yx}^*) \\ \left(\frac{1}{A_1}\right)(\varphi_{x0} + z\chi_{xz0} + z^2\varphi_{x0}^* + z^3\chi_{xz0}^*) \\ (\varphi_{x1} + z\chi_{xz1} + z^2\varphi_{x1}^*) \\ \left(\frac{1}{A_2}\right)(\varphi_{y0} + z\chi_{yz0} + z^2\varphi_{y0}^* + z^3\chi_{yz0}^*) \\ (\varphi_{y1} + z\chi_{yz1} + z^2\varphi_{y1}^*) \end{bmatrix} (1, z^2, z, z^3) dz \quad (14)$$

به‌عنوان مثال برای N_x داریم:

$$\begin{aligned} N_x = & \frac{A_2}{A_1} Q_{11} \varepsilon_{x0} + Q_{12} \varepsilon_{y0} + \frac{A_2}{A_1} Q_{14} \varepsilon_{xy0} + \\ & Q_{14} \varepsilon_{yx0} + \frac{A_2}{A_1} Q_{11} z^2 \varepsilon_{x0}^* + Q_{12} z^2 \varepsilon_{y0}^* + \\ & \frac{A_2}{A_1} Q_{14} z^2 \varepsilon_{xy0}^* + Q_{14} z^2 \varepsilon_{yx0}^* + A_2 Q_{13} \varepsilon_{z0} + \\ & A_2 Q_{13} z^2 \varepsilon_{z0}^* + \frac{A_2}{A_1} Q_{11} z \chi_x + Q_{12} z \chi_y + \\ & \frac{A_2}{A_1} Q_{14} z \chi_{xy} + Q_{14} z \chi_{yx} + \frac{A_2}{A_1} Q_{11} z^3 \chi_x^* + \\ & Q_{12} z^3 \chi_y^* + \frac{A_2}{A_1} Q_{14} z^3 \chi_{xy}^* + Q_{14} z^3 \chi_{yx}^* + \\ & A_2 Q_{13} z \chi_z \end{aligned} \quad (15)$$

بدین ترتیب رابطه زیر حاصل می‌شود:

$$\bar{\sigma} = D \bar{\varepsilon} \quad (1)$$

که در آن به ترتیب $\bar{\sigma}$ و $\bar{\varepsilon}$ متجه‌های تنش و مؤلفه‌های کرنش هستند و به صورت زیر معرفی می‌شوند:

$$\bar{\sigma} = \begin{pmatrix} N_x, N_y, N_{xy}, N_{yx}, \\ N_x^*, N_y^*, N_{xy}^*, N_{yx}^*, \\ N_z, N_z^*, M_x, M_y, \\ M_{xy}, M_{yx}, M_x^*, M_y^*, \\ M_{xy}^*, M_{yx}^*, M_z, Q_x, \\ R_x, Q_y, R_y, Q_x^*, \\ R_x^*, Q_y^*, R_y^*, S_x, \\ T_x, S_y, T_y, S_x^*, S_y^* \end{pmatrix}^T \quad (17)$$

$$\begin{aligned} Q_{11} &= C_{11} c^4 + 2(C_{12} + 2C_{44}) s^2 c^2 + C_{22} s^4 \\ Q_{12} &= C_{12} (c^4 + s^4) + (C_{11} + C_{22} - 2C_{44}) s^2 c^2 \\ Q_{13} &= C_1 (C_{13} c^2 + C_{23} s^2) \\ Q_{14} &= (C_{11} - C_{12} - 2C_{44}) s c^3 + \\ & (C_{12} - C_{22} + 2C_{44}) c s^3 \\ Q_{22} &= C_{11} s^4 + 2(C_{12} + 2C_{44}) s^2 c^2 + C_{22} c^4 \\ Q_{23} &= C_1 (C_{13} s^2 + C_{23} c^2) \\ Q_{24} &= (C_{11} - C_{12} - 2C_{44}) s^3 c + \\ & (C_{12} - C_{22} + 2C_{44}) c^3 s \\ Q_{33} &= C_1 C_{33} \\ Q_{34} &= C_1 (C_{31} - C_{32}) s c \\ Q_{44} &= (C_{11} - 2C_{12} + C_{22} - 2C_{44}) s^2 c^2 + C_{44} (c^4 + s^4) \\ Q_{55} &= C_{55} c^2 + C_{66} s^2 \\ Q_{56} &= (C_{55} - C_{66}) s c \\ Q_{66} &= C_{55} s^2 + C_{66} c^2 \\ Q_{ij} &= Q_{ji}, \quad i, j = 1, \dots, 6 \end{aligned} \quad (11)$$

که در آن‌ها $c = \cos(\theta)$, $s = \sin(\theta)$ و θ زاویه چرخش الیاف در هر لایه هستند. روابط کرنش از روابط (۵) و (۶) را در رابطه (۱۰) جایگزین کرده و در راستای ضخامت از آن‌ها انتگرال گیری می‌شود:

$$\begin{bmatrix} N_x & N_y^* & M_x & M_x^* \\ N_y & N_y^* & M_y & M_y^* \\ N_z & N_z^* & M_z & - \\ N_{xy} & N_{xy}^* & M_{xy} & M_{xy}^* \\ N_{yx} & N_{yx}^* & M_{yx} & M_{yx}^* \\ Q_x & Q_x^* & S_x & S_x^* \\ R_x & R_x^* & T_x & - \\ Q_y & Q_y^* & S_y & S_y^* \\ R_y & R_y^* & T_y & - \end{bmatrix} = \sum_{i=1}^{n_i} \int_{z_i}^{z_{i+1}} \begin{bmatrix} A_2 & 0 & 0 & 0 & 0 & 0 & 0 & 0 & 0 \\ 0 & A_1 & 0 & 0 & 0 & 0 & 0 & 0 & 0 \\ 0 & 0 & A_1 A_2 & 0 & 0 & 0 & 0 & 0 & 0 \\ 0 & 0 & 0 & 0 & A_1 & 0 & 0 & 0 & 0 \\ 0 & 0 & 0 & 0 & 0 & A_2 & 0 & 0 & 0 \\ 0 & 0 & 0 & 0 & 0 & 0 & A_1 A_2 & 0 & 0 \\ 0 & 0 & 0 & 0 & 0 & 0 & 0 & A_1 & 0 \\ 0 & 0 & 0 & 0 & 0 & 0 & 0 & 0 & A_1 A_2 \end{bmatrix} \times \begin{bmatrix} \varepsilon_x \\ \varepsilon_y \\ \varepsilon_z \\ \varepsilon_{xy} \\ \varepsilon_{yx} \\ \varepsilon_{xz} \\ \varepsilon_{yz} \\ \varepsilon_{zx} \\ \varepsilon_{zy} \end{bmatrix} (1, z^2, z, z^3) dz$$

$$A_1 = 1 + \frac{Y_0 z}{r_x}, A_2 = 1 + \frac{Y_0 z}{r_y}$$

که در آن:

$$\begin{bmatrix} \sigma_x \\ \sigma_y \\ \sigma_z \\ \tau_{xy} \\ \tau_{yx} \\ \tau_{xz} \\ \tau_{zx} \\ \tau_{yz} \\ \tau_{zy} \end{bmatrix} = \begin{bmatrix} Q_{11} & Q_{12} & Q_{13} & Q_{14} & Q_{14} & 0 & 0 & 0 & 0 \\ Q_{12} & Q_{22} & Q_{23} & Q_{24} & Q_{24} & 0 & 0 & 0 & 0 \\ Q_{13} & Q_{23} & Q_{33} & Q_{34} & Q_{34} & 0 & 0 & 0 & 0 \\ Q_{14} & Q_{24} & Q_{34} & Q_{44} & Q_{44} & 0 & 0 & 0 & 0 \\ Q_{14} & Q_{24} & Q_{34} & Q_{44} & Q_{44} & 0 & 0 & 0 & 0 \\ 0 & 0 & 0 & 0 & 0 & Q_{55} & Q_{55} & Q_{56} & Q_{56} \\ 0 & 0 & 0 & 0 & 0 & Q_{55} & Q_{55} & Q_{56} & Q_{56} \\ 0 & 0 & 0 & 0 & 0 & Q_{56} & Q_{56} & Q_{66} & Q_{66} \\ 0 & 0 & 0 & 0 & 0 & Q_{56} & Q_{56} & Q_{66} & Q_{66} \end{bmatrix} \begin{bmatrix} \varepsilon_x \\ \varepsilon_y \\ \varepsilon_z \\ \varepsilon_{xy} \\ \varepsilon_{yx} \\ \varepsilon_{xz} \\ \varepsilon_{zx} \\ \varepsilon_{yz} \\ \varepsilon_{zy} \end{bmatrix} \quad (13)$$

رابطه (۱۳) حالت گسترده‌تر رابطه (۱۰) است. جایگذاری همه مؤلفه‌ها و انجام عملیات جبری، منجر به تشکیل رابطه بین متجه‌های تنش و مؤلفه‌های کرنش خواهد شد که ضرایب رابط این دو مجموعه، تحت عنوان ماتریس D بیان می‌شود.

به منظور حل مسئله رابطه (۲۰) به صورت رابطه (۲۴) بازنویسی می شود:

$$\int_0^t [\delta U - \delta K] dt = 0 \quad (24)$$

بدین منظور عبارت مربوط به انرژی جنبشی (۲۲) در رابطه (۲۴) جایگذاری می شود و تغییرات تابعی انرژی جنبشی محاسبه می شود [۱۴]:

$$\int_0^t \delta K dt = \frac{1}{2} \int_0^t \iiint_V \rho (2\dot{u}\delta\dot{u} + 2\dot{v}\delta\dot{v} + 2\dot{w}\delta\dot{w}) dV dt \quad (25)$$

با استفاده از انتگرال گیری جزء به جزء رابطه زیر حاصل می گردد [۱۴]:

$$\begin{aligned} \int_0^t \delta K dt &= - \int_0^t \left[\iiint_V \rho (\ddot{u}\delta u + \dot{v}\delta\dot{u} + \right. \\ &\quad \left. \iiint_V \rho (\ddot{u}\delta u + \dot{v}\delta\dot{u} + \dot{w}\delta\dot{u}) dAdz \right] dt + \\ &\quad \left. \dot{w}\delta\dot{u}) dAdz \right]_{t=0}^{t=t} \int_0^t \delta K dt = \\ &= - \int_0^t \int_0^a \int_0^b \int_{-h/2}^{+h/2} \rho (\dot{u}\delta\dot{u} + \dot{v}\delta\dot{v} + \\ &\quad \dot{w}\delta\dot{w}) dAdz dt \end{aligned} \quad (26)$$

با توجه به تعریف اصل هامیلتون تغییرات متغیرها در زمان های ابتدایی و انتهایی تحلیل صفر در نظر گرفته می شود، بنابراین جمله دوم در رابطه (۲۶) صفر منظور می شود. با جایگذاری مؤلفه های جابه جایی در رابطه بالا، رابطه زیر حاصل می شود:

$$\begin{aligned} \int_0^t \delta K dt &= - \int_0^t \left[\int_{-h/2}^{+h/2} \left[\int_A \rho (\dot{u}\delta\dot{u} + \dot{v}\delta\dot{v} + \dot{w}\delta\dot{w}) dA \right] dz \right] dt \\ &= - \int_0^t \left[\int_{-h/2}^{+h/2} \left[\int_A \rho \left(\begin{aligned} &\left(\ddot{u}_0 \left(1 + \frac{Y_0 Z}{r_x} \right) + z\ddot{\theta}_x + C_3 z^2 \ddot{u}_0' + C_4 z^3 \ddot{\theta}_x' \right) \times \right. \\ &\left(\delta u_0 \left(1 + \frac{Y_0 Z}{r_x} \right) + z\delta\theta_x + C_3 z^2 \delta u_0' + C_4 z^3 \delta\theta_x' \right) + \\ &\left(\ddot{v}_0 \left(1 + \frac{Y_0 Z}{r_y} \right) + z\ddot{\theta}_y + C_3 z^2 \ddot{v}_0' + C_4 z^3 \ddot{\theta}_y' \right) \times \\ &\left(\delta v_0 \left(1 + \frac{Y_0 Z}{r_y} \right) + z\delta\theta_y + C_3 z^2 \delta v_0' + C_4 z^3 \delta\theta_y' \right) + \\ &\left(\ddot{w}_0 + C_1 z\ddot{\theta}_z + C_1 z^2 \ddot{w}_0' + C_2 z^3 \ddot{\theta}_z' \right) \times \\ &\left(\delta w_0 + C_1 z\delta\theta_z + C_1 z^2 \delta w_0' + C_2 z^3 \delta\theta_z' \right) \end{aligned} \right) dz \right] dt \end{aligned} \quad (27)$$

در این مرحله تغییرات تابعی انرژی کرنشی محاسبه می شود:

$$\begin{aligned} \int_0^t \delta U dt &= \\ \int_0^t \int_0^a \int_0^b \int_{-h/2}^{+h/2} &\left[\sigma_x \delta \varepsilon_x + \sigma_y \delta \varepsilon_y + \sigma_z \delta \varepsilon_z + \right. \\ &\left. \sigma_{xy} \delta \gamma_{xy} + \sigma_{xz} \delta \gamma_{xz} + \sigma_{yz} \delta \gamma_{yz} \right] dAdz dt \end{aligned} \quad (28)$$

و با جایگذاری مؤلفه های کرنش از روابط (۵) و (۶) در رابطه (۲۸) رابطه زیر ایجاد می شود:

* تغییرات انرژی کرنشی متناظر با ε_x :

$$\bar{\varepsilon} = \begin{pmatrix} \varepsilon_{x_0}, \varepsilon_{y_0}, \varepsilon_{xy_0}, \varepsilon_{yx_0}, \\ \varepsilon_{x_0}^*, \varepsilon_{y_0}^*, \varepsilon_{xy_0}^*, \varepsilon_{yx_0}^*, \\ \varepsilon_{z_0}, \varepsilon_{z_0}^*, \chi_x, \chi_y, \\ \chi_{xy}, \chi_{yx}, \chi_x^*, \chi_y^*, \\ \chi_{xy}^*, \chi_{yx}^*, \chi_z, \varphi_{x_0}, \\ \varphi_{x_1}, \varphi_{y_0}, \varphi_{y_1}, \varphi_{x_0}^*, \\ \varphi_{x_1}^*, \varphi_{y_0}^*, \varphi_{y_1}^*, \chi_{xz_0}, \\ \chi_{xz_1}, \chi_{yz_0}, \chi_{yz_1}, \chi_{xz_0}^*, \chi_{yz_0}^* \end{pmatrix}^T \quad (18)$$

در رابطه (۱۶)، D ماتریس سفتی است که متشکل از ماتریس های سفتی D_m, D_{bc}, D_b و D_s بوده است.

$$D = \begin{bmatrix} D_f & 0 \\ 0 & K_0 D_s \end{bmatrix}, D_f = \begin{bmatrix} D_m & D_{mc} \\ D_{bc} & D_b \end{bmatrix} \quad (19)$$

در روابط بالا K_0 ضریب تصحیح برشی است که در تئوری های مرتبه اول لحاظ می شود. این ضریب بر اساس تئوری میندیلین برابر با $(K_0 = \frac{\pi^2}{12})$ است. بدیهی است در تئوری های مرتبه بالاتر این ضریب برابر یک در نظر گرفته می شود.

در انتگرال گیری که منجر به رابطه (۱۶) شد، می بایست از عباراتی که شامل ترم دوزنقه ای هستند، انتگرال گرفته شود، در این پژوهش به منظور حصول پاسخ های واقعی این عمل به صورت دقیق انجام شده است.

معادلات حاکم

به منظور انجام تحلیل دینامیکی، معادلات حاکم بر پوسته دو انحنایی با استفاده از اصل هامیلتون استخراج می شود.

$$\delta \int_{t_1}^{t_2} [U - K - W] dt = 0 \quad (20)$$

در عبارت بالا U انرژی کرنشی ناشی از تغییر شکل بوده و به صورت زیر تعریف می شود [۱۴]:

$$U = \frac{1}{2} \iiint_V \sigma_{ij} \varepsilon_{ij} dV \quad (21)$$

و همچنین K انرژی جنبشی است و عبارت است از [۱۴]:

$$K = \frac{1}{2} \iiint_V \rho (\dot{u}^2 + \dot{v}^2 + \dot{w}^2) dV \quad (2)$$

در رابطه (۲۰) W کار ناشی از نیروهای خارجی بوده و در مسئله حاضر به دلیل عدم وجود این گونه نیروها صفر در نظر گرفته می شود.

در روابط بالا المان سطح به صورت زیر تعریف شده است:

$$dA = A_1 A_2 dx dy \quad (23)$$

$$\iint_A \int_{-h/2}^{h/2} (\sigma_{xy} \delta \varepsilon_{xy} + \sigma_{yx} \delta \varepsilon_{yx}) dz dA =$$

$$\left(\iint_A \int_{-h/2}^{h/2} \left(\sigma_{xy} \frac{1}{A_2} \left(\delta \frac{\partial u_0}{\partial x} + z(\delta \gamma_0 \frac{1}{r_y} \frac{\partial v_0}{\partial x} + \delta \frac{\partial \theta_x}{\partial x}) + z^2(\delta C_3 \frac{\partial v_0^*}{\partial x}) + z^3(\delta C_4 \frac{\partial \theta_x^*}{\partial x}) \right) + \sigma_{yx} \frac{1}{A_1} \left(\delta \frac{\partial u_0}{\partial y} + z(\delta \gamma_0 \frac{1}{r_x} \frac{\partial v_0}{\partial y} + \delta \frac{\partial \theta_y}{\partial y}) + z^2(\delta C_3 \frac{\partial v_0^*}{\partial y}) + z^3(\delta C_4 \frac{\partial \theta_y^*}{\partial y}) \right) \right) dz A_1 A_2 dy dx \right) =$$

$$\left(\iint_A \left(\begin{aligned} & N_{xy} (\delta \frac{\partial v_0}{\partial x}) + M_{xy} (\delta \gamma_0 \frac{1}{r_y} \frac{\partial v_0}{\partial x} + \delta \frac{\partial \theta_y}{\partial x}) + N_{xy}^* (\delta C_3 \frac{\partial v_0^*}{\partial x}) + M_{xy}^* (\delta C_4 \frac{\partial \theta_y^*}{\partial x}) \\ & N_{yx} (\delta \frac{\partial u_0}{\partial y}) + M_{yx} (\delta \gamma_0 \frac{1}{r_x} \frac{\partial u_0}{\partial y} + \delta \frac{\partial \theta_x}{\partial y}) + N_{yx}^* (\delta C_3 \frac{\partial u_0^*}{\partial y}) + M_{yx}^* (\delta C_4 \frac{\partial \theta_x^*}{\partial y}) \end{aligned} \right) dy dx \right) = \quad (۳۲)$$

$$- \iint_A \left(\begin{aligned} & \left(\frac{\partial N_{xy}}{\partial x} \delta v_0 \right) + \left(\gamma_0 \frac{1}{r_y} \frac{\partial M_{xy}}{\partial x} \delta v_0 + \frac{\partial M_{xy}}{\partial x} \delta \theta_y \right) + \left(C_3 \frac{\partial N_{xy}^*}{\partial x} \delta v_0^* \right) + \left(C_4 \frac{\partial M_{xy}^*}{\partial x} \delta \theta_y^* \right) \\ & \left(\frac{\partial N_{yx}}{\partial y} \delta u_0 \right) + \left(\gamma_0 \frac{1}{r_x} \frac{\partial M_{yx}}{\partial y} \delta u_0 + \frac{\partial M_{yx}}{\partial y} \delta \theta_x \right) + \left(C_3 \frac{\partial N_{yx}^*}{\partial y} \delta u_0^* \right) + \left(C_4 \frac{\partial M_{yx}^*}{\partial y} \delta \theta_x^* \right) \end{aligned} \right) dy dx$$

*تغییرات انرژی کرنشی متناظر با ε_{zx} و ε_{xz} :

$$\iint_A \int_{-h/2}^{h/2} (\sigma_{xz} \delta \varepsilon_{xz} + \sigma_{zx} \delta \varepsilon_{zx}) dz dA =$$

$$\left(\iint_A \int_{-h/2}^{h/2} \left(\sigma_{xz} \frac{1}{A_1} \left(\delta \left(\frac{\partial w_0}{\partial x} - \delta \frac{u_0}{r_x} \right) + z(\delta C_1 \frac{\partial \theta_z}{\partial x} - \delta \gamma_0 \frac{u_0}{r_x^2} - \delta \frac{\theta_x}{r_x}) + z^2(\delta C_1 \frac{\partial w_0^*}{\partial x} - \delta C_3 \frac{u_0^*}{r_x}) + z^3(\delta C_2 \frac{\partial \theta_z^*}{\partial x} - \delta C_4 \frac{\theta_x^*}{r_x}) \right) + \sigma_{zx} \left(\delta \gamma_0 \frac{u_0}{r_x} + \delta \theta_x \right) + \sigma_{zx} \left(z(\delta 2C_3 u_0^*) + z^2(\delta 3C_4 \theta_x^*) \right) \right) dz A_1 A_2 dy dx =$$

$$\left(\iint_A \left(\begin{aligned} & Q_x (\delta \frac{\partial w_0}{\partial x} - \delta \frac{u_0}{r_x}) + S_x (\delta C_1 \frac{\partial \theta_z}{\partial x} - \delta \gamma_0 \frac{u_0}{r_x^2} - \delta \frac{\theta_x}{r_x}) + Q_x^* (\delta C_1 \frac{\partial w_0^*}{\partial x} - \delta C_3 \frac{u_0^*}{r_x}) + S_x^* (\delta C_2 \frac{\partial \theta_z^*}{\partial x} - \delta C_4 \frac{\theta_x^*}{r_x}) + R_x (\delta \gamma_0 \frac{u_0}{r_x} + \delta \theta_x) + T_x (\delta 2C_3 u_0^*) + R_x^* (\delta 3C_4 \theta_x^*) \end{aligned} \right) dy dx =$$

$$= f - \iint_A \left(\begin{aligned} & \left(\frac{\partial Q_x}{\partial x} \delta w_0 + \frac{Q_x}{r_x} \delta u_0 \right) + \left(C_1 \frac{\partial S_x}{\partial x} \delta \theta_x + \gamma_0 \frac{S_x}{r_x^2} \delta u_0 + \frac{S_x}{r_x} \delta \theta_x \right) + \left(C_1 \frac{\partial Q_x^*}{\partial x} \delta w_0^* + C_3 \frac{Q_x^*}{r_x} \delta u_0^* \right) + \left(C_2 \frac{\partial S_x^*}{\partial x} \delta \theta_x^* + C_4 \frac{S_x^*}{r_x} \delta \theta_x^* \right) + \left(-\gamma_0 \frac{R_x}{r_x} \delta u_0 - R_x \delta \theta_x \right) + \left(-2C_3 T_x \delta u_0^* + (-3C_4 R_x^* \delta \theta_x^*) \right) \end{aligned} \right) dy dx \quad (۳۳)$$

$$\iint_A \int_{-h/2}^{h/2} \sigma_x \delta \varepsilon_x dz dA =$$

$$\iint_A \int_{-h/2}^{h/2} \sigma_x \frac{1}{A_1} \left(\delta \left(\frac{\partial u_0}{\partial x} + \delta \frac{w_0}{r_x} \right) + z(\delta \gamma_0 \frac{1}{r_x} \frac{\partial u_0}{\partial x} + \delta \frac{\partial \theta_x}{\partial x} + \delta C_1 \frac{\theta_x}{r_x}) + z^2(\delta C_3 \frac{\partial u_0^*}{\partial x} + \delta C_1 \frac{w_0^*}{r_x}) + z^3(\delta C_4 \frac{\partial \theta_x^*}{\partial x} + \delta C_2 \frac{\theta_x^*}{r_x}) \right) dz A_1 A_2 dy dx =$$

$$\iint_A \left(\begin{aligned} & N_x (\delta \frac{\partial u_0}{\partial x} + \delta \frac{w_0}{r_x}) + M_x (\delta \gamma_0 \frac{1}{r_x} \frac{\partial u_0}{\partial x} + \delta \frac{\partial \theta_x}{\partial x} + \delta C_1 \frac{\theta_x}{r_x}) + N_x^* (\delta C_3 \frac{\partial u_0^*}{\partial x} + \delta C_1 \frac{w_0^*}{r_x}) + M_x^* (\delta C_4 \frac{\partial \theta_x^*}{\partial x} + \delta C_2 \frac{\theta_x^*}{r_x}) \end{aligned} \right) dy dx = \quad (۳۹)$$

$$\iint_A \left(\begin{aligned} & \left(\frac{\partial N_x}{\partial x} \delta u_0 - \frac{N_x}{r_x} \delta w_0 \right) + \left(\gamma_0 \frac{1}{r_x} \frac{\partial M_x}{\partial x} \delta u_0 + \frac{\partial M_x}{\partial x} \delta \theta_x - C_1 \frac{M_x}{r_x} \delta \theta_x \right) + \left(C_3 \frac{\partial N_x^*}{\partial x} \delta u_0^* - C_1 \frac{N_x^*}{r_x} \delta w_0^* \right) + \left(C_4 \frac{\partial M_x^*}{\partial x} \delta \theta_x^* - C_2 \frac{M_x^*}{r_x} \delta \theta_x^* \right) \end{aligned} \right) dy dx$$

* تغییرات انرژی کرنشی متناظر با ε_y :

$$\iint_A \int_{-h/2}^h \sigma_y \delta \varepsilon_y dz dA =$$

$$- \iint_A \int_{-h/2}^h \sigma_y \frac{1}{A_2} \left(\delta \left(\frac{\partial v_0}{\partial y} + \delta \frac{w_0}{r_y} \right) + z(\delta \gamma_0 \frac{1}{r_y} \frac{\partial v_0}{\partial y} + \delta \frac{\partial \theta_y}{\partial y} + \delta C_1 \frac{\theta_y}{r_y}) + z^2(\delta C_3 \frac{\partial v_0^*}{\partial y} + \delta C_1 \frac{w_0^*}{r_y}) + z^3(\delta C_4 \frac{\partial \theta_y^*}{\partial y} + \delta C_2 \frac{\theta_y^*}{r_y}) \right) dz A_1 A_2 dy dx =$$

$$\iint_A \left(\begin{aligned} & N_y (\delta \frac{\partial v_0}{\partial y} + \delta \frac{w_0}{r_y}) + M_y (\delta \gamma_0 \frac{1}{r_y} \frac{\partial v_0}{\partial y} + \delta \frac{\partial \theta_y}{\partial y} + \delta C_1 \frac{\theta_y}{r_y}) + N_y^* (\delta C_3 \frac{\partial v_0^*}{\partial y} + \delta C_1 \frac{w_0^*}{r_y}) + M_y^* (\delta C_4 \frac{\partial \theta_y^*}{\partial y} + \delta C_2 \frac{\theta_y^*}{r_y}) \end{aligned} \right) dy dx = \quad (۳۰)$$

$$- \iint_A \left(\begin{aligned} & \left(\frac{\partial N_y}{\partial y} \delta v_0 - \frac{N_y}{r_y} \delta w_0 \right) + \left(\gamma_0 \frac{1}{r_y} \frac{\partial M_y}{\partial y} \delta v_0 + \frac{\partial M_y}{\partial y} \delta \theta_y - C_1 \frac{M_y}{r_y} \delta \theta_y \right) + \left(C_3 \frac{\partial N_y^*}{\partial y} \delta v_0^* - C_1 \frac{N_y^*}{r_y} \delta w_0^* \right) + \left(C_4 \frac{\partial M_y^*}{\partial y} \delta \theta_y^* - C_2 \frac{M_y^*}{r_y} \delta \theta_y^* \right) \end{aligned} \right) dy dx$$

*تغییرات انرژی کرنشی متناظر با ε_z :

$$\iint_A \int_{-h/2}^h \sigma_z \delta \varepsilon_z dz dA =$$

$$\iint_A \int_{-h/2}^{h/2} \sigma_z \left((\delta C_1 \theta_z) + z(\delta 2C_1 w_0^*) + z^2(\delta 3C_2 \theta_z^*) \right) dz A_1 A_2 dy dx =$$

$$\iint_A N_z (\delta C_1 \theta_z) + M_z (\delta 2C_1 w_0^*) + N_z^* (\delta 3C_2 \theta_z^*) dy dx = - \iint_A (-C_1 N_z \delta \theta_z) - (2M_z C_1 \delta w_0^*) - (3N_z^* C_2 \delta \theta_z^*) dy dx \quad (۳۱)$$

* تغییرات انرژی کرنشی متناظر با ε_{yx} و ε_{xy} :

*تغییرات انرژی کرنشی متناظر با ε_{yz} و ε_{zy} :

$$\begin{aligned} u_0 &= u_{0mn} \cos \alpha x \sin \beta y e^{i\omega_{mn}t} & u_0^* &= u_{0mn}^* \cos \alpha x \sin \beta y e^{i\omega_{mn}t} \\ v_0 &= v_{0mn} \sin \alpha x \cos \beta y e^{i\omega_{mn}t} & v_0^* &= v_{0mn}^* \sin \alpha x \cos \beta y e^{i\omega_{mn}t} \\ w_0 &= w_{0mn} \sin \alpha x \sin \beta y e^{i\omega_{mn}t} & w_0^* &= w_{0mn}^* \sin \alpha x \sin \beta y e^{i\omega_{mn}t} \\ \theta_x &= \theta_{xmn} \cos \alpha x \sin \beta y e^{i\omega_{mn}t} & \theta_x^* &= \theta_{xmn}^* \cos \alpha x \sin \beta y e^{i\omega_{mn}t} \\ \theta_y &= \theta_{ymn} \sin \alpha x \cos \beta y e^{i\omega_{mn}t} & \theta_y^* &= \theta_{ymn}^* \sin \alpha x \cos \beta y e^{i\omega_{mn}t} \\ \theta_z &= \theta_{zmn} \sin \alpha x \sin \beta y e^{i\omega_{mn}t} & \theta_z^* &= \theta_{zmn}^* \sin \alpha x \sin \beta y e^{i\omega_{mn}t} \end{aligned} \quad (36)$$

که در روابط بالا $\beta = \frac{n\pi}{b}$ ، $\alpha = \frac{m\pi}{a}$ و $T_{mn}(t) = e^{i\omega_{mn}t}$
 θ_{zmn}^* , θ_{ymn}^* , θ_{xmn}^* , w_{0mn}^* , v_{0mn}^* , u_{0mn}^* , θ_{zmn} , θ_{ymn} , θ_{xmn} , w_{0mn} , v_{0mn} , u_{0mn}
 ثوابت شکل مودهای طبیعی می‌باشند.

پس از مرتب‌کردن معادلات تعادل، عملگرهای دیفرانسیلی به صورت زیر بیان می‌شود:

$$L_{ij} = \begin{bmatrix} L_{1,1} & L_{1,2} & L_{1,3} & L_{1,4} & L_{1,5} & L_{1,6} & L_{1,7} & L_{1,8} & L_{1,9} & L_{1,10} & L_{1,11} & L_{1,12} \\ L_{2,1} & L_{2,2} & L_{2,3} & L_{2,4} & L_{2,5} & L_{2,6} & L_{2,7} & L_{2,8} & L_{2,9} & L_{2,10} & L_{2,11} & L_{2,12} \\ L_{3,1} & L_{3,2} & L_{3,3} & L_{3,4} & L_{3,5} & L_{3,6} & L_{3,7} & L_{3,8} & L_{3,9} & L_{3,10} & L_{3,11} & L_{3,12} \\ L_{4,1} & L_{4,2} & L_{4,3} & L_{4,4} & L_{4,5} & L_{4,6} & L_{4,7} & L_{4,8} & L_{4,9} & L_{4,10} & L_{4,11} & L_{4,12} \\ L_{5,1} & L_{5,2} & L_{5,3} & L_{5,4} & L_{5,5} & L_{5,6} & L_{5,7} & L_{5,8} & L_{5,9} & L_{5,10} & L_{5,11} & L_{5,12} \\ L_{6,1} & L_{6,2} & L_{6,3} & L_{6,4} & L_{6,5} & L_{6,6} & L_{6,7} & L_{6,8} & L_{6,9} & L_{6,10} & L_{6,11} & L_{6,12} \\ L_{7,1} & L_{7,2} & L_{7,3} & L_{7,4} & L_{7,5} & L_{7,6} & L_{7,7} & L_{7,8} & L_{7,9} & L_{7,10} & L_{7,11} & L_{7,12} \\ L_{8,1} & L_{8,2} & L_{8,3} & L_{8,4} & L_{8,5} & L_{8,6} & L_{8,7} & L_{8,8} & L_{8,9} & L_{8,10} & L_{8,11} & L_{8,12} \\ L_{9,1} & L_{9,2} & L_{9,3} & L_{9,4} & L_{9,5} & L_{9,6} & L_{9,7} & L_{9,8} & L_{9,9} & L_{9,10} & L_{9,11} & L_{9,12} \\ L_{10,1} & L_{10,2} & L_{10,3} & L_{10,4} & L_{10,5} & L_{10,6} & L_{10,7} & L_{10,8} & L_{10,9} & L_{10,10} & L_{10,11} & L_{10,12} \\ L_{11,1} & L_{11,2} & L_{11,3} & L_{11,4} & L_{11,5} & L_{11,6} & L_{11,7} & L_{11,8} & L_{11,9} & L_{11,10} & L_{11,11} & L_{11,12} \\ L_{12,1} & L_{12,2} & L_{12,3} & L_{12,4} & L_{12,5} & L_{12,6} & L_{12,7} & L_{12,8} & L_{12,9} & L_{12,10} & L_{12,11} & L_{12,12} \end{bmatrix} \quad (37)$$

با جایگذاری بردار شکل مودهای طبیعی Δ در عملگرهای دیفرانسیلی، معادلات تعادل، دستگاه معادلات زیر حاصل می‌شوند:

$$L_{ij}(\Delta_j) = 0 \quad (38)$$

برای حل دستگاه معادلات فوق از روش گالرکین استفاده می‌شود [۱۶، ۱۷]:

$$\int_0^b \int_0^a L_{ij}(\Delta_j) T_{mn}(t) \psi_i dx dy = 0 \quad (39)$$

که در آن، عملگرهای دیفرانسیلی هستند که مؤلفه‌های جابه‌جایی در آن‌ها جایگذاری شده‌اند و ψ بردار توابع وزنی بوده و به صورت زیر تعریف می‌شود:

$$\psi = \begin{bmatrix} \cos \alpha x \sin \beta y \\ \sin \alpha x \cos \beta y \\ \sin \alpha x \sin \beta y \\ \cos \alpha x \sin \beta y \\ \sin \alpha x \cos \beta y \\ \sin \alpha x \sin \beta y \\ \cos \alpha x \sin \beta y \\ \sin \alpha x \cos \beta y \\ \sin \alpha x \sin \beta y \\ \cos \alpha x \sin \beta y \\ \sin \alpha x \cos \beta y \\ \sin \alpha x \sin \beta y \end{bmatrix} \quad \Delta = \begin{bmatrix} u_{0mn} \cos \alpha x \sin \beta y \\ v_{0mn} \sin \alpha x \cos \beta y \\ w_{0mn} \sin \alpha x \sin \beta y \\ \theta_{xmn} \cos \alpha x \sin \beta y \\ \theta_{ymn} \sin \alpha x \cos \beta y \\ \theta_{zmn} \sin \alpha x \sin \beta y \\ u_{0mn}^* \cos \alpha x \sin \beta y \\ v_{0mn}^* \sin \alpha x \cos \beta y \\ w_{0mn}^* \sin \alpha x \sin \beta y \\ \theta_{xmn}^* \cos \alpha x \sin \beta y \\ \theta_{ymn}^* \sin \alpha x \cos \beta y \\ \theta_{zmn}^* \sin \alpha x \sin \beta y \end{bmatrix} \quad (40)$$

$$\iint_A \int_{-h/2}^{h/2} (\sigma_{yz} \delta \varepsilon_{yz} + \sigma_{zy} \delta \varepsilon_{zy}) dz dA = \left(\begin{array}{c} (\delta \frac{\partial w_0}{\partial y} - \delta \frac{v_0}{r_y}) + \\ z(\delta C_1 \frac{\partial \theta_z}{\partial y} - \delta \gamma_0 \frac{v_0}{r_y^2} - \delta \frac{\theta_y}{r_y}) + \\ \sigma_{yz} \frac{1}{A_z} \left(z^2(\delta C_1 \frac{\partial w_0}{\partial y} - \delta C_3 \frac{v_0}{r_y}) + \right. \\ \left. z^3(\delta C_2 \frac{\partial \theta_z}{\partial y} - \delta C_4 \frac{\theta_y}{r_y}) \right) \\ \sigma_{zy} \left((\delta \gamma_0 \frac{v_0}{r_y} + \delta \theta_y) + \right. \\ \left. z(\delta 2C_3 v_0^*) + \right. \\ \left. z^2(\delta 3C_4 \theta_y^*) \right) \end{array} \right) dz A_1 A_2 dy dx =$$

$$\iint_A \left(\begin{array}{c} Q_y (\delta \frac{\partial w_0}{\partial y} - \delta \frac{v_0}{r_y}) + \\ S_y (\delta C_1 \frac{\partial \theta_z}{\partial y} - \delta \gamma_0 \frac{v_0}{r_y^2} - \delta \frac{\theta_y}{r_y}) + \\ Q_y^* (\delta C_1 \frac{\partial w_0}{\partial y} - \delta C_3 \frac{v_0}{r_y}) + \\ S_y^* (\delta C_2 \frac{\partial \theta_z}{\partial y} - \delta C_4 \frac{\theta_y}{r_y}) + \\ R_y (\delta \gamma_0 \frac{v_0}{r_y} + \delta \theta_y) + \\ T_y (\delta 2C_3 v_0^*) + R_y^* (\delta 3C_4 \theta_y^*) \end{array} \right) dy dx = \quad (34)$$

$$\int - \iint_A \left(\begin{array}{c} (\frac{\partial Q_y}{\partial y} \delta w_0 + \frac{Q_y}{r_y} \delta v_0) + \\ (C_1 \frac{\partial S_y}{\partial y} \delta \theta_z + \gamma_0 \frac{S_y}{r_y} \delta v_0 + \frac{S_y}{r_y} \delta \theta_y) + \\ (C_1 \frac{\partial Q_y^*}{\partial y} \delta w_0^* + C_3 \frac{Q_y^*}{r_y} \delta v_0^*) + \\ (C_2 \frac{\partial S_y^*}{\partial y} \delta \theta_z^* + C_4 \frac{S_y^*}{r_y} \delta \theta_y^*) + \\ (-\gamma_0 \frac{R_y}{r_y} \delta v_0 - R_y \delta \theta_y) + \\ (-2C_3 T_y \delta v_0^*) + (-3C_4 R_y^* \delta \theta_y^*) \end{array} \right) dy dx$$

تحلیل ارتعاشات آزاد پوسته‌های کامپوزیتی

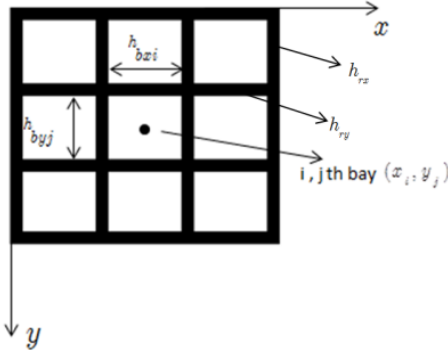
در اینجا با حل معادلات تعادل پوسته که در قسمت قبل به دست آمده است، به محاسبه فرکانس‌های طبیعی ارتعاشات آزاد و همچنین شکل مودهای متناظر با آن‌ها پرداخته می‌شود.

بدین منظور باید شرایط مرزی مورد نظر، توسط توابعی بر مؤلفه‌های جابه‌جایی اعمال شوند. برای این مسئله شرایط مرزی ساده به صورت زیر تعریف شده است [۱۲]:

$$\theta_y^* = \theta_z^* = v_0 = w_0 = \theta_y = \theta_z = v_0^* = w_0^* = N_x = M_x = N_x^* = M_x^* = 0 \quad (35)$$

به منظور ارضای شرایط مرزی ذکر شده در رابطه (۳۵) مؤلفه‌های جابه‌جایی پوسته به صورت حاصل ضرب توابع مثلثاتی در مختصات تعمیم‌یافته $T_{mn}(t)$ به صورت زیر در نظر گرفته می‌شوند [۱۲، ۱۵]:

در شکل (۳) مشخصات هندسی پوسته مشبک با ریب‌های افقی و عمودی و در شکل (۴) پوسته مشبک با ریب‌هایی با زوایای مختلف ارائه شده است.



شکل ۳- مشخصات پوسته مشبک با ریب‌های افقی و عمودی

در صورتی که در سازه مشبک مورد مطالعه، ریب‌ها ارتوتروپیک باشند، ریب‌های افقی، عمودی و زاویه‌دار موجود به همراه مواد پرکننده به صورت زیر تحلیل می‌شوند:

$$Q_{ij} = Q_{ij}^0(1 - HP^0) + Q_{ij}^{90}(1 - HP^{90}) + Q_{ij}^\phi(1 - HP^\phi) + Q_{ij}^{-\phi}(1 - HP^{-\phi}) + Q_{ij}^{bay}(HP^0 \times HP^{90} \times HP^\phi \times HP^{-\phi}) \quad (47)$$

سفتی ریب‌های در جهت ϕ : Q_{ij}^ϕ ، تابع توزیع ریب‌های در جهت ϕ : HP^ϕ

$$HP^0 = \sum_{i=1}^{m_x} \sum_{j=1}^{m_y} \left[H(y - y_j + \frac{h_{byj}}{2}) - H(y - y_j - \frac{h_{byj}}{2}) \right]$$

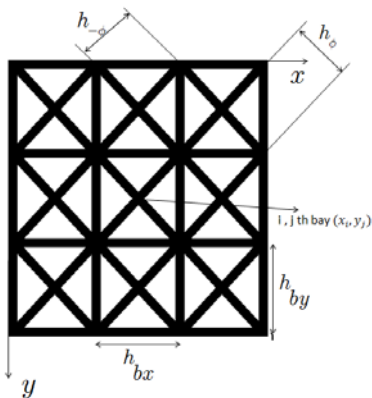
$$HP^{90} = \sum_{i=1}^{m_x} \sum_{j=1}^{m_y} \left[H(x - x_i + \frac{h_{axi}}{2}) - H(x - x_i - \frac{h_{axi}}{2}) \right]$$

$$HP^\phi = \sum_{i=1}^{m_x} \sum_{j=1}^{m_y} \left[H(x - x_i + \frac{h_{\phi x}}{2}) - H(x - x_i - \frac{h_{\phi x}}{2}) \right] \times$$

$$\left[H(y - y_j + \frac{h_{\phi y}}{2}) - H(y - y_j - \frac{h_{\phi y}}{2}) \right]$$

$$HP^{-\phi} = \sum_{i=1}^{m_x} \sum_{j=1}^{m_y} \left[H(x - x_i + \frac{h_{-\phi x}}{2}) - H(x - x_i - \frac{h_{-\phi x}}{2}) \right] \times$$

$$\left[H(y - y_j + \frac{h_{-\phi y}}{2}) - H(y - y_j - \frac{h_{-\phi y}}{2}) \right] \quad (48)$$



شکل ۴- مشخصات پوسته مشبک با ریب‌های با زوایای مختلف

با انجام انتگرال رابطه (۳۸) و مرتب‌سازی آن، معادله مقدار ویژه زیر به دست می‌آید:

$$[K - \omega_{mn}^2 M] \{d\} = 0 \quad (41)$$

که در آن:

$$\{d\} = \left\{ u_{0mn}, v_{0mn}, w_{0mn}, \theta_{xmn}, \theta_{ymn}, \theta_{zmn}, u_{0mn}^*, v_{0mn}^*, w_{0mn}^*, \theta_{xmn}^*, \theta_{ymn}^*, \theta_{zmn}^* \right\}^T \quad (42)$$

با حل این معادله مقدار ویژه فرکانس‌های طبیعی و شکل موده‌های متناظر با آن به دست می‌آیند. بدین صورت که کوچک‌ترین فرکانس طبیعی پوسته برابر با ریشه دوم کوچک‌ترین مقدار ویژه می‌باشد. برای به دست آوردن این مقادیر، ماتریس‌های M و K در رابطه (۴۰) قرار می‌گیرند و به کمک برنامه‌نویسی در نرم‌افزار متلب فرکانس‌های طبیعی محاسبه می‌شود.

تحلیل ارتعاشات پوسته‌های مشبک

در پوسته‌های مشبک به دلیل تفاوت بین جنس ریب‌ها و فضای خالی بین ریب‌ها، نمی‌توان توزیع سفتی را به صورت یکنواخت در نظر گرفت؛ لذا این امر توسط تابع پله‌ای هویساید رابطه (۴۳) انجام می‌شود [۱۸].

$$Q_{ij}(x, y) = Q_{ij}^{rib} [1 - HP(x, y)] + Q_{ij}^{bay} HP(x, y) \quad (43)$$

در رابطه (۴۳)، سفتی کل: $Q_{ij}(x, y)$ ، سفتی ریب‌ها: Q_{ij}^{rib} ، سفتی مواد پرکننده: Q_{ij}^{bay} ، تابع توزیع: $HP(x, y)$ است که تابع توزیع بر روی ریب‌ها مقدار یک و بر روی نواحی پرکننده مقدار صفر را اختیار می‌کند.

$$HP(x, y) = \begin{cases} 1 & \text{بین ریب‌ها} \\ 0 & \text{روی ریب‌ها} \end{cases} \quad (44)$$

به عنوان مثال برای یک سازه مقاوم شده با خانه‌های مربعی^۶ تابع توزیع موردنظر با استفاده از تابع هویساید به صورت رابطه (۴۵) بیان می‌شود [۱۸].

$$HP(x, y) = \sum_{i=1}^{m_x} \sum_{j=1}^{m_y} \left[H(x - x_i + \frac{h_{bxi}}{2}) - H(x - x_i - \frac{h_{bxi}}{2}) \right] \times \left[H(y - y_j + \frac{h_{byj}}{2}) - H(y - y_j - \frac{h_{byj}}{2}) \right] \quad (45)$$

همچنین مشتقات آن نسبت به متغیرهای x و y به صورت رابطه (۴۶) تعریف می‌شود [۱۸]:

$$\frac{\partial HP(x, y)}{\partial x} = \sum_{i=1}^{m_x} \sum_{j=1}^{m_y} \left[\delta(x - x_i + \frac{h_{bxi}}{2}) - \delta(x - x_i - \frac{h_{bxi}}{2}) \right] \times \left[H(y - y_j + \frac{h_{byj}}{2}) - H(y - y_j - \frac{h_{byj}}{2}) \right]$$

$$\frac{\partial HP(x, y)}{\partial y} = \sum_{i=1}^{m_x} \sum_{j=1}^{m_y} \left[H(x - x_i + \frac{h_{bxi}}{2}) - H(x - x_i - \frac{h_{bxi}}{2}) \right] \times \left[\delta(y - y_j + \frac{h_{byj}}{2}) - \delta(y - y_j - \frac{h_{byj}}{2}) \right] \quad (46)$$

$$\begin{aligned}
 L_{11} = & D_{m1,1} \frac{\partial^2 u_0}{\partial x^2} + D_{m1,4} \frac{\partial^2 u_0}{\partial x \partial y} + D_{mc1,1} \gamma_0 \frac{1}{r_x} \frac{\partial^2 u_0}{\partial x^2} + \\
 & D_{mc1,4} \gamma_0 \frac{1}{r_x} \frac{\partial^2 u_0}{\partial x \partial y} + \\
 & \frac{1}{r_x} \frac{\partial u_0}{\partial x} + \frac{\partial D_{m1,4}}{\partial x} \frac{\partial u_0}{\partial y} + \frac{\partial D_{mc1,1}}{\partial x} \gamma_0 \frac{1}{r_x} \frac{\partial u_0}{\partial x} + \frac{\partial D_{mc1,4}}{\partial x} \gamma_0 \frac{1}{r_x} \frac{\partial u_0}{\partial y} + \\
 & D_{bc1,1} \gamma_0 \frac{1}{r_x} \frac{\partial^2 u_0}{\partial x^2} + D_{bc1,4} \gamma_0 \frac{1}{r_x} \frac{\partial^2 u_0}{\partial x \partial y} + D_{b1,1} \gamma_0 \frac{1}{r_x^2} \frac{\partial^2 u_0}{\partial x^2} + \\
 & D_{b1,4} \gamma_0 \frac{1}{r_x r_x} \frac{\partial^2 u_0}{\partial x \partial y} + \\
 & \frac{D_{bc1,4}}{\partial x} \gamma_0 \frac{1}{r_x} \frac{\partial u_0}{\partial y} + \frac{\partial D_{b1,1}}{\partial x} \gamma_0 \frac{1}{r_x^2} \frac{\partial u_0}{\partial x} + \frac{\partial D_{b1,4}}{\partial x} \gamma_0 \frac{1}{r_x r_x} \frac{\partial u_0}{\partial y} + \\
 & D_{m4,1} \frac{\partial^2 u_0}{\partial y \partial x} + D_{m4,4} \frac{\partial^2 u_0}{\partial y^2} + D_{mc4,1} \gamma_0 \frac{1}{r_x} \frac{\partial^2 u_0}{\partial y \partial x} + \\
 & D_{mc4,4} \gamma_0 \frac{1}{r_x} \frac{\partial^2 u_0}{\partial y^2} + \\
 & \frac{1}{r_x} \frac{\partial u_0}{\partial x} + \frac{\partial D_{m4,4}}{\partial y} \frac{\partial u_0}{\partial y} + \frac{\partial D_{mc4,1}}{\partial y} \gamma_0 \frac{1}{r_x} \frac{\partial u_0}{\partial x} + \frac{\partial D_{mc4,4}}{\partial y} \gamma_0 \frac{1}{r_x} \frac{\partial u_0}{\partial y} + \\
 & D_{bc4,1} \gamma_0 \frac{1}{r_x} \frac{\partial^2 u_0}{\partial y \partial x} + D_{bc4,4} \gamma_0 \frac{1}{r_x} \frac{\partial^2 u_0}{\partial y^2} + D_{b4,1} \gamma_0 \frac{1}{r_x r_x} \frac{\partial^2 u_0}{\partial y \partial x} + \\
 & D_{b4,4} \gamma_0 \frac{1}{r_x r_x} \frac{\partial^2 u_0}{\partial y^2} - \\
 & \frac{D_{bc4,4}}{r_x} \gamma_0 \frac{1}{r_x} \frac{\partial u_0}{\partial y} + \frac{\partial D_{b4,1}}{\partial y} \gamma_0 \frac{1}{r_x r_x} \frac{\partial u_0}{\partial x} + \frac{\partial D_{b4,4}}{\partial y} \gamma_0 \frac{1}{r_x r_x} \frac{\partial u_0}{\partial y} - \\
 & D_{s1,1} \frac{u_0}{r_x^2} + D_{s1,2} \gamma_0 \frac{u_0}{r_x^2} - D_{s1,9} \gamma_0 \frac{u_0}{r_x^3} + D_{s2,1} \gamma_0 \frac{u_0}{r_x^2} - \\
 & D_{s2,2} \gamma_0 \frac{u_0}{r_x^2} + D_{s2,9} \gamma_0 \frac{u_0}{r_x^3} - D_{s9,1} \gamma_0 \frac{u_0}{r_x^3} + D_{s9,2} \gamma_0 \frac{u_0}{r_x^3} - \\
 & D_{s9,9} \gamma_0 \frac{u_0}{r_x^4} - \frac{\partial^2 u_0}{\partial t^2} \left(\bar{I}_0 + \frac{2\gamma_0}{r_x} \bar{I}_1 + \frac{\gamma_0^2}{r_x^2} \bar{I}_2 \right)
 \end{aligned} \tag{51}$$

نتایج و بحث

پوسته دو انحنایی

بیمارادی در ۱۹۹۱، با استفاده از معادلات الاستیسیته به تحلیل ارتعاشات آزاد پوسته‌های دو انحنایی چندلایه‌ای و همگن، با زمینه مستطیلی و ساخته شده از مواد ارتوتروپیک، پرداخت. او حل این مسئله را با فرض ناچیز بودن نسبت ضخامت پوسته به شعاع سطح میانی در مقایسه با واحد، به انجام رسانید. وی در محاسبه نتایج از رابطه زیر برای نرمال کردن پاسخ بهره گرفت [۱۹]:

$$\omega^* = \omega a \sqrt{\rho/E_{22}} \tag{52}$$

خواص ماده نیز به صورت زیر در نظر گرفته شده است:

$$\begin{aligned}
 E_1/E_2 &= 25 \\
 E_2/E_3 &= 1 \\
 G_{12}/E_2 &= G_{13}/E_2 = 0.5
 \end{aligned} \tag{53}$$

در این موارد مشتقات نسبت به متغیرهای x و y به عنوان مثال برای HP^0 به صورت زیر است:

$$\begin{aligned}
 \frac{\partial HP^0}{\partial y} &= \sum_{i=1}^{m_x} \sum_{j=1}^{m_y} \left[\delta(y-y_j + \frac{h_{byj}}{2}) - \delta(y-y_j - \frac{h_{byj}}{2}) \right] \\
 \frac{\partial HP^0}{\partial x} &= 0
 \end{aligned} \tag{49}$$

که در روابط بالا x_i و y_j مختصات مرکز هر خانه، h ضخامت ریبها و $m_x \times m_y$ تعداد خانه‌ها را نشان می‌دهد.

$$\begin{aligned}
 x_i, \quad i=1, \dots, m_x \\
 y_j, \quad j=1, \dots, m_y
 \end{aligned} \tag{50}$$

روابط تنش- کرنش

روابط تنش-کرنش در پوسته‌های مشبک نیز مانند پوسته‌های کامپوزیتی معمولی و مطابق با روابط (۱۲) تا (۱۴) حاصل می‌شود، با این تفاوت که به جای Q_{ij} ها از روابط (۴۳) و (۴۸) به ترتیب برای پوسته مشبک به ریب‌های ایزوتروپیک و ارتوتروپیک استفاده می‌شود تا بتوان توزیع متفاوت مواد در اجزای سازه مشبک را لحاظ کرد؛ در واقع تفاوت در روابط مربوط به پوسته‌های مشبک نسبت به پوسته‌های کامپوزیتی در ماتریس سفتی $D(x, y)$ آن‌ها می‌باشد. معادلات حاکم بر پوسته‌های مشبک دو انحنایی همانند پوسته‌های کامپوزیتی غیر مشبک استخراج می‌شود.

در مرحله جایگذاری منتجه‌های تنش در معادلات اوایلر و استخراج عملگرهای دیفرانسیلی باید توجه داشت که در اینجا برخلاف پوسته‌های غیرمشبک عناصر ماتریس D نیز به دلیل وجود تابع هویساید، نسبت به متغیرهای x, y تغییرات دارند و در عملیات مشتق‌گیری وارد می‌شوند. بنابراین مشتقات مربوطه از روابط (۴۶) و (۴۹) در محاسبات وارد می‌شود. پس از به دست آوردن تمامی عملگرهای دیفرانسیلی به طریقه گفته شده، بقیه مراحل تا به دست آوردن فرکانس‌های طبیعی، مانند پوسته‌های کامپوزیتی معمولی خواهد بود. چندین نمونه از عملگرهای دیفرانسیلی مربوط به پوسته‌های مشبک در پیوست آمده است، به عنوان مثال اولین عضو از عملگرهای دیفرانسیلی در پوسته‌های کامپوزیتی به صورت زیر بیان شد (عبارات بدون خط) که در پوسته‌های مشبک جملاتی که زیر آن‌ها خط کشیده شده نیز به دلیل وجود مشتق در درایه‌های ماتریس D اضافه می‌شوند:

است. مشاهدات نشان می‌دهد که با افزایش نسبت h/a و افزایش نسبت a/r_x پارامتر فرکانسی افزایش می‌یابد. در تمامی موارد تئوری مرتبه بالای حاضر از تئوری PSDT مرجع [۱۹] دارای دقت بالاتری است. همچنین در هر دو جدول مشخص است که تئوری‌های مرتبه بالا مقادیر فرکانسی بالاتری را در مقایسه با حل دقیق سه‌بعدی نشان می‌دهند.

از دیگر موارد قابل ملاحظه این است که در بسیاری از موارد فرکانس‌های مربوط به پوسته با لایه‌های (۰/۹۰) مقادیر کمتری نسبت به پوسته تک لایه همگن و با همان ابعاد دارند و این به دلیل آن است که در یک ضخامت معین در پوسته تک لایه، دو برابر دولایه (۰/۹۰) الیاف صفر درجه وجود دارد و به جهت تأثیر مستقیم آن‌ها در سفتی و در نتیجه فرکانس طبیعی مقادیر بالاتری در تک لایه مشاهده می‌شود.

همچنین در یک نسبت h/a و a/r_x خاص درصد اختلاف بین تئوری RHOST12 و حل دقیق در حالت کامپوزیت دولایه نسبت به حالت تک لایه همگن کمتر است. به طوری که به‌عنوان مثال در نسبت‌های $h/a = 0.05$ و $a/r_x = 1$ در حالت تک لایه همگن درصد اختلاف با حل دقیق برای تئوری RHOST12 و PSDT به ترتیب برابر با ۲/۷۵٪ و ۵/۸۷٪ است و در همین شرایط برای حال دولایه (۰/۹۰) این اختلاف به ترتیب به ۱/۰۸٪ و ۲/۱۳٪ تقلیل پیدا می‌کند.

$$\frac{G_{23}}{E_2} = 0.2$$

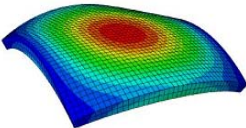
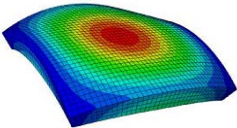
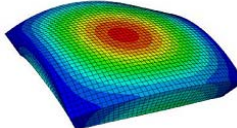
$$\nu_{12} = \nu_{13} = \nu_{23} = 0.25$$

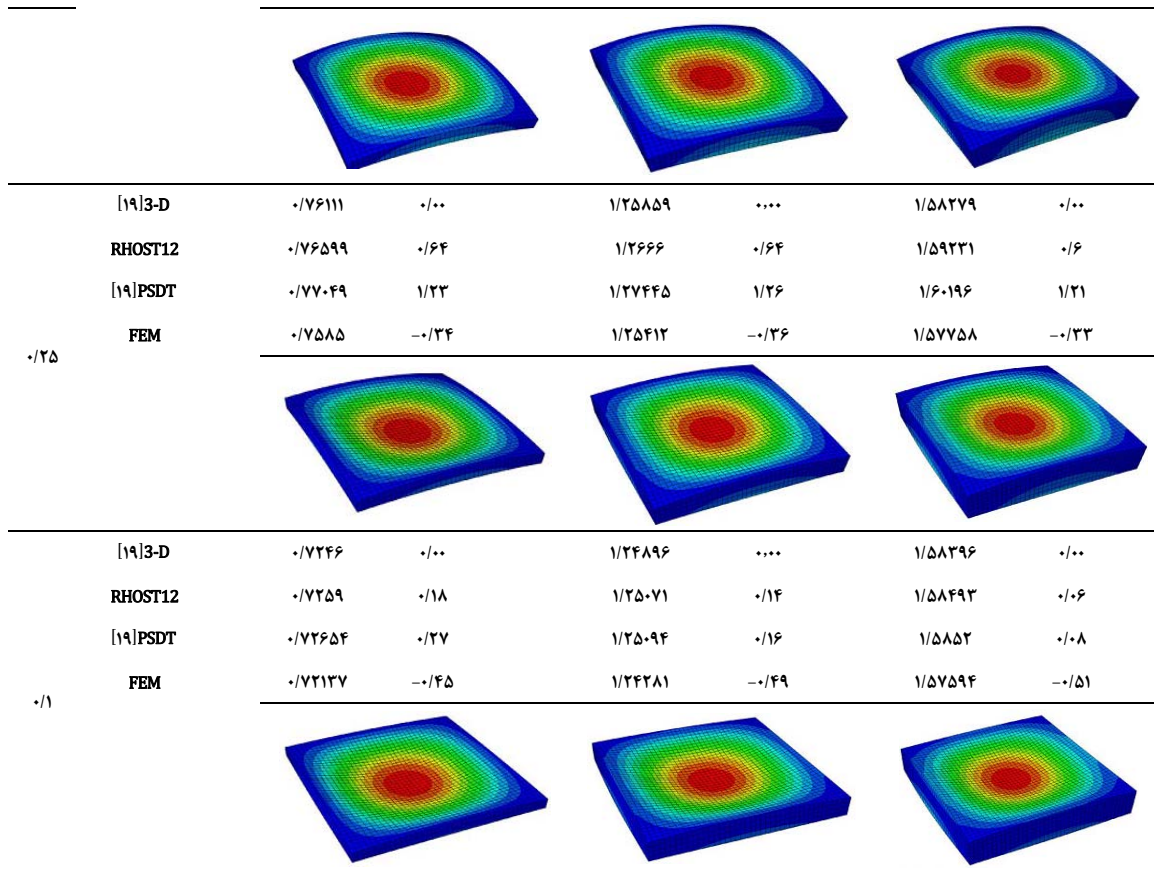
در جدول (۲) مقادیر مربوط به پوسته ارتوتروپیک تک لایه همگن بین حل دقیق سه‌بعدی، تئوری RHOST12 ارائه شده در پژوهش حاضر و تئوری مرتبه بالای مرجع [۱۹] مورد مقایسه قرار گرفته است. درصد تفاوت با حل دقیق گویای دقت بالای تئوری ارائه شده می‌باشد. همچنین به‌منظور مقایسه با نتایج حل عددی تحلیل المان محدود با استفاده نرم‌افزار آباکوس انجام گرفته است.

همان‌طور که در جدول (۲) مشاهده می‌شود، با کاهش نسبت a/r_x ، دقت تئوری مرتبه بالای ارائه شده افزایش می‌یابد. به‌عنوان مثال برای $h/a = 0.05$ و $a/r_x = 1$ اختلاف بین تئوری RHOST12 و حل دقیق ۲/۷۵٪ است که این اختلاف در $h/a = 0.05$ و $a/r_x = 0.1$ به ۰/۱۸٪ کاهش پیدا می‌کند. این در حالی است که با افزایش نسبت h/a دقت تئوری RHOST12 کاهش می‌یابد. به‌طور مثال برای $h/a = 0.15$ و $a/r_x = 1$ درصد اختلاف بین تئوری حاضر و حل دقیق به ۷/۳۴٪ می‌رسد.

کوچک‌ترین پارامتر فرکانسی مربوط به پوسته کامپوزیتی دو انحنایی کروی متقاطع نامتقارن با لایه چینی (۰/۹۰) حاصل از تئوری RHOST12 با حل دقیق و تئوری مرتبه بالای موجود در مرجع [۱۹]، در جدول (۳) برای نسبت‌های مختلف h/a و a/r_x مورد مقایسه قرار گرفته

جدول ۲- مقایسه پارامتر فرکانس برای پوسته دو انحنایی تک لایه همگن بین تئوری‌های مختلف و به ازای مقادیر متفاوت h/a , a/r_x

a/r_x	Theory	$h/a = 0.05$		$h/a = 0.1$		$h/a = 0.15$	
۱	[۱۹]3-D	۱/۲۱۴۰۳	۰/۰۰	۱/۴۲۸۷۲	۰/۰۰	۱/۶۰۰۴۱	۰/۰۰
	RHOST12	۱/۲۴۷۴	۲/۷۵	۱/۵۱۱۵۷	۵/۸	۱/۷۱۷۹۲	۷/۳۴
	[۱۹]PSDT	۱/۲۸۵۲۵	۵/۸۷	۱/۶۰۵۳۸	۱۲/۳۶	۱/۹۸۳/۸۴	۱۵/۵۸
	FEM	۱/۱۸۶۱۳	-۲/۳	۱/۴۴۲۴۹	۰/۹۶	۱/۶۴۳۸۶	۲/۷۱
							
۰/۵	[۱۹]3-D	۰/۸۷۷۰۲	۰/۰۰	۱/۲۹۲۹۵	۰/۰۰	۱/۵۸۰۶۸	۰/۰۰
	RHOST12	۰/۸۹۱۷۸	۱/۶۸	۱/۳۲۲۱۱	۲/۲۶	۱/۶۱۸۴۷	۲/۳۹
	[۱۹]PSDT	۰/۹۰۶۹۷	۳/۴۱	۱/۳۵۳۰۲	۴/۶۵	۱/۶۵۸۸۸	۴/۹۵
	FEM	۰/۸۸۴۷۹	۰/۸۹	۱/۳۱۳۳۷	۱/۵۸	۱/۶۰۸۳۶	۱/۷۵



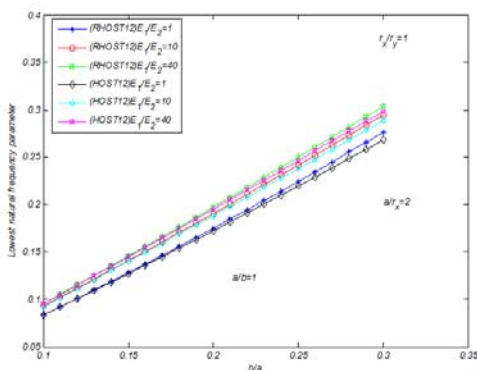
*درصد تفاوت: $100 \times ([19] - [19]) / [19]$ (تئوری مورد بررسی)

جدول ۳- مقایسه پارامتر فرکانس برای پوسته دو انحنائی دولایه (0.90) بین تئوری‌های مختلف و به ازای مقادیر متفاوت $h/a, a/r_x$

a/r_x	Theory	$h/a=0.05$		$h/a=0.1$		$h/a=0.15$	
1	3-D	1/29825	0.00	1/39974	0.00	1/51936	0
	RHOST12	1.31221	1.08	1/44662	3/35	1/60418	5/58
	PSDT	1/32595	2/13	1/49075	6/5	1/68141	10/67
	FEM	1/34359	3/48	1/46102	4/38	1/59203	4/78
0.5	3-D	-0.79577	0.00	1/05528	0.00	1/31111	0.00
	RHOST12	-0.80348	-0.97	1/07733	2/09	1/34799	2/81
	PSDT	-0.81059	1/86	1/09708	3/96	1/38083	5/32
	FEM	-0.80173	-0.75	1/07037	1/42	1/3341	1/75

a/r_x	Theory	$h/a=0.05$	$h/a=0.1$	$h/a=0.15$			
۰/۲۵							
	3-D	۰/۵۷۴۱۹	۰/۰۰	۰/۹۳۶۳۷	۰/۰۰	۱/۲۵۰۲۲	۰/۰۰
	RHOST12	۰/۵۷۷۵۸	۰/۵۹	۰/۹۴۵۴۹	۰/۹۷	۱/۲۶۶۵۹	۱/۳
	PSDT	۰/۵۸۰۳۸	۱/۰۸	۰/۹۵۳۰۶	۱/۷۸	۱/۲۸۰۹۲	۲/۴۵
	FEM	۰/۵۷۲۸۳	-۰/۲۴	۰/۹۳۳۱۱	-۰/۳۵	۱/۲۴۶۰۱	-۰/۲۴
۰/۱							
	3-D	۰/۴۹۱۲۷	۰/۰۰	۰/۸۹۹۱۲	۰/۰۰	۱/۲۳۲۴۹	۰/۰۰
	RHOST12	۰/۴۹۲۶۹	۰/۲۹	۰/۹۰۳۶۳	۰/۵	۱/۲۴۲۰۷	۰/۷۸
	PSDT	۰/۴۹۳۶۱	۰/۴۴	۰/۹۰۶۷۹	۰/۸۵	۱/۲۵۰۳۴	۱/۴۵
	FEM	۰/۴۸۹۴۹	-۰/۳۶	۰/۸۹۴۷۸	-۰/۴۸	۱/۲۲۶۲۸	-۰/۵

۱- ابتدا روند افزایشی دارد و بعد از عبور از $r_x/r_y = 0$ نرخ افزایش کم می‌شود. در شکل (۷) تغییرات پارامتر فرکانسی برحسب شماره مود (n) و به ازای $h/a = 0.3$ $a/b = 1$ $r_x/r_y = 1$ و $a/r_x = 3$ ترسیم شده است. شکل نشان می‌دهد که برای نسبت‌های مختلف ارتوتروپی با افزایش شماره مود پارامتر فرکانسی افزایش می‌یابد. ضمن اینکه در شماره مدهای بالاتر درصد اختلاف بین دو تئوری RHOST12 و HOST12 بیشتر می‌گردد.



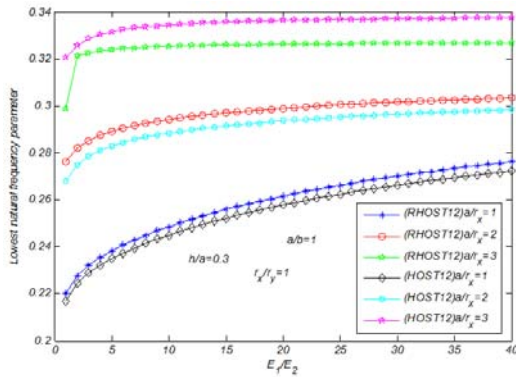
شکل ۵- تغییرات کوچک‌ترین پارامتر فرکانسی برحسب نسبت h/a برای نسبت‌های ارتوتروپی مختلف

شایان ذکر است که در تمامی شکل‌های این بخش پارامتر فرکانسی به صورت زیر انتخاب شده است:

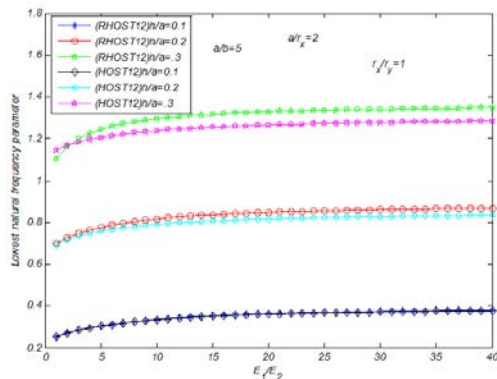
$$\bar{\omega} = \omega \frac{a}{b} \sqrt{\rho \square^2 / G_{12}} \quad (54)$$

شکل (۵) تغییرات کوچک‌ترین پارامتر فرکانسی را برحسب نسبت ضخامت به طول h/a به ازای $a/b = 1$ $r_x/r_y = 1$ و نمایش می‌دهد. نتایج در این شکل برای دو تئوری HOST12 و RHOST12 محاسبه شده‌اند. همان‌طور که در شکل ملاحظه می‌شود، پارامتر فرکانسی با افزایش h/a با شیبی یکنواخت به ازای نسبت‌های مختلف ارتوتروپی افزایش می‌یابد. همچنین دیده می‌شود که پارامتر فرکانسی با افزایش نسبت ارتوتروپی مقدار بالاتری به خود می‌گیرد.

تغییرات کوچک‌ترین پارامتر فرکانسی برحسب r_x/r_y و به ازای $a/r_x = 2$ $a/b = 1$ $h/a = 0.3$ برای نسبت‌های مختلف ارتوتروپی در شکل (۶) مورد بررسی قرار گرفته است. اختلاف بین دو تئوری HOST12 و RHOST12 در نسبت $E_1/E_2 = 40$ به وضوح دیده می‌شود. شیب تغییرات پارامتر فرکانسی از $r_x/r_y =$

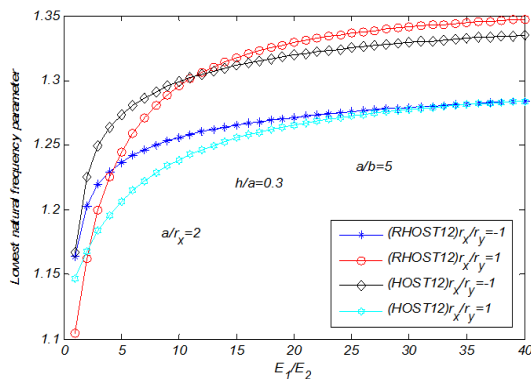


شکل ۹- تغییرات کوچکترین پارامتر فرکانسی برحسب نسبت E_1/E_2 برای نسبت‌های a/b

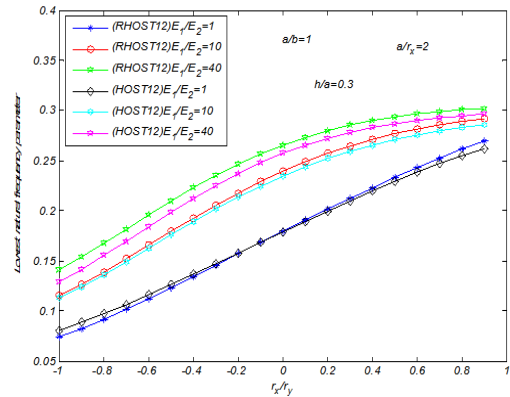


شکل ۱۰- تغییرات کوچکترین پارامتر فرکانسی برحسب نسبت E_1/E_2 برای نسبت‌های h/a

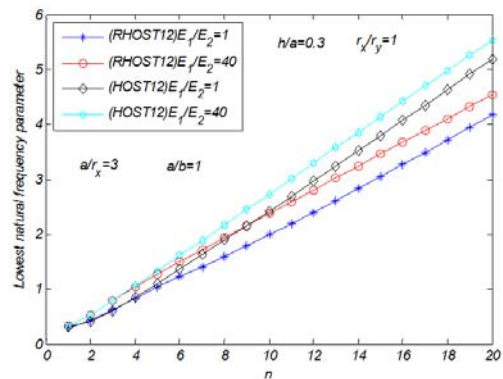
در شکل (۱۱) تغییرات کوچکترین پارامتر فرکانسی برحسب نسبت ارتوتروپی و به ازای $a/b = 5$ و $a/r_x = 2$ و $h/a = 0.3$ برای $r_x/r_y = -1, 1$ نشان داده شده است. همان‌طور که ملاحظه می‌شود به ازای نسبت‌های ارتوتروپی کمتر از ۴ پارامتر فرکانسی در $r_x/r_y = 1$ کمتر از $r_x/r_y = -1$ است، ولی بعد از آن این روند معکوس می‌گردد.



شکل ۱۱- تغییرات کوچکترین پارامتر فرکانسی برحسب نسبت E_1/E_2 برای نسبت‌های r_x/r_y

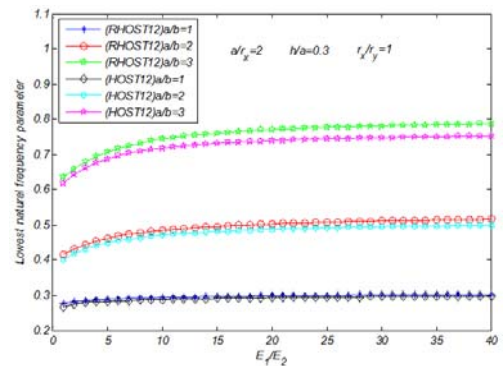


شکل ۶- تغییرات کوچکترین پارامتر فرکانسی برحسب نسبت r_x/r_y برای نسبت‌های مختلف ارتوتروپی



شکل ۷- تغییرات پارامتر فرکانسی برحسب شماره مودهای محیطی مختلف و به ازای نسبت‌های مختلف ارتوتروپی

شکل‌های (۸، ۹ و ۱۰) تغییرات کوچکترین پارامتر فرکانسی را برحسب تغییرات نسبت ارتوتروپی E_1/E_2 و به ترتیب برای مقادیر مختلف نسبت‌های a/b و a/r_x و h/a نشان می‌دهند. تمامی شکل‌ها گویای این نکته است که با افزایش نسبت ارتوتروپی تغییرات پارامتر فرکانسی کاهش پیدا می‌کند.



شکل ۸- تغییرات کوچکترین پارامتر فرکانسی برحسب نسبت E_1/E_2 برای نسبت‌های a/r_x

پوسته‌های مشبک دو انحنائی

همان‌طور که قبلاً گفته شد به دلیل تفاوت در خواص ریب‌ها و مواد پرکننده می‌بایست توسط یک تابع توزیع، این عدم یکنواختی موجود در سفتی و جرم پوسته مشبک را در محاسبات وارد کرد که این امر توسط تابع پله‌ای هویساید انجام گرفت، سپس با به دست آوردن ماتریس‌های سفتی و جرم، فرکانس‌های طبیعی استخراج شد. با توجه به اطلاع نویسنده بر عدم وجود پژوهش متناظر برای صحنه‌گذاری ناگزیر مقادیر به دست آمده از تئوری حاضر با نتایج حل عددی مقایسه شد.

پوسته مشبک با ریب‌های ایزوتروپیک

در این قسمت خواص ریب‌ها به صورت ایزوتروپیک ($\nu = 0.3$) در نظر گرفته می‌شود. همچنین ابعاد پوسته مشبک بر حسب میلی متر به صورت زیر است:

$$a \times b = 120 \times 120$$

$$r_x = r_y = 200$$

$$\square = 6$$

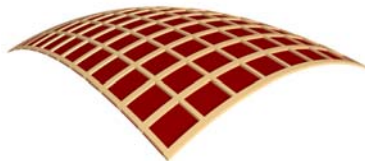
$$\square_{rx} = \square_{ry} = 1.9$$

$$\square_{bx} = \square_{by} = 4$$

در ابتدا برای اینکه اثر ابعاد حفره‌ها در یک پوسته دو انحنائی بر پاسخ‌های دریافتی از اعمال تئوری پوسته اطلاع حاصل شود، در پوسته‌ای با ابعاد مشخص حفره‌هایی با ابعاد متفاوت ایجاد شده و نتایج حاصل از حل عددی با نتایج به دست آمده از تئوری حاضر در جدول (۴) مقایسه شده‌اند.

مطابق با نتایج به دست آمده درصد اختلاف بین تئوری RHOST12 و تحلیل المان محدود برای نسبت ابعاد $0.62/0.62$ برابر با $2/32\%$ و برای نسبت ابعاد $0.17/0.17$ برابر با $17/8\%$ خواهد بود.

حل عددی با استفاده از نرم‌افزار المان محدود آباکوس انجام پذیرفت. المان استفاده شده در تحلیل، از نوع 20 گره‌ای (C3D20R) می‌باشد. در شکل (۱۲) ریب‌ها و مواد پرکننده با رنگ متفاوت در نرم‌افزار آباکوس نشان داده شده است.



جدول ۴ - مقایسه تأثیر ابعاد حفره در پوسته دو انحنائی بر فرکانس طبیعی

ابعاد حفره ابعاد کل پوسته	فرکانس طبیعی (Hz) (m,n)=(1,1)		ابعاد حفره ابعاد کل پوسته	فرکانس طبیعی (Hz) (m,n)=(1,1)	
	تحلیل المان محدود	تئوری ارائه شده		تحلیل المان محدود	تئوری ارائه شده
بدون حفره	۰/۰۰۰۸۸۶	۰/۰۰۰۸۲۲	۰/۰۶۲	۰/۰۰۰۸۶۸	۰/۰۰۰۸۸۴

شکل ۱۲ - پوسته مشبک دو انحنائی مدل‌سازی شده در نرم‌افزار کتیا

در این قسمت به منظور بررسی اثر نسبت چگالی پرکننده به چگالی ریب و مدول یانگ پرکننده به مدول یانگ ریب بر دقت نتایج، حفره‌ای با ابعاد 50×50 بر روی پوسته با ابعاد 120×120 ، به عنوان ناحیه مربوط به مواد پرکننده در نظر گرفته می‌شود.

فرکانس طبیعی برای نسبت‌های مختلف چگالی ماده پرکننده به چگالی ریب در جدول (۵) ارائه شده است. در این جدول که $1 = \frac{E_{bay}}{E_{rib}}$ است، نتایج نشان می‌دهد که کاهش نسبت $\frac{\rho_{bay}}{\rho_{rib}}$ افزایش فرکانس طبیعی را در پی خواهد داشت. همچنین با کاهش این نسبت و نزدیک شدن آن به صفر درصد اختلاف بین نتایج حل عددی و تئوری حاضر افزایش خواهد یافت.

در جدول (۶) فرکانس طبیعی برای مقادیر مختلف نسبت مدول یانگ ماده پرکننده به مدول یانگ ریب آمده است. در این جدول $1 = \frac{\rho_{bay}}{\rho_{rib}}$ است و همان‌طور که مشاهده می‌شود با کاهش نسبت $\frac{E_{bay}}{E_{rib}}$ فرکانس طبیعی نیز با کاهش مواجه خواهد شد.

اکنون به منظور بررسی تأثیر افزایش تعداد خانه‌ها بر پاسخ‌های حاصله، تعداد خانه‌ها به 15×15 افزایش داده می‌شود. فرکانس طبیعی برای نسبت‌های مختلف چگالی ماده پرکننده به چگالی ریب در جدول (۷) ارائه شده است. این نتایج نشان می‌دهد که کاهش نسبت $\frac{\rho_{bay}}{\rho_{rib}}$ افزایش فرکانس طبیعی را در پی خواهد داشت.

در جدول (۸) فرکانس طبیعی برای مقادیر مختلف نسبت مدول یانگ ماده پرکننده به مدول یانگ ریب آمده است. همان‌طور که مشاهده می‌شود با کاهش نسبت $\frac{E_{bay}}{E_{rib}}$ فرکانس طبیعی نیز کاهش خواهد یافت.

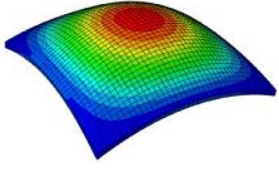
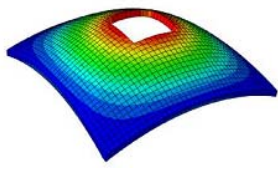
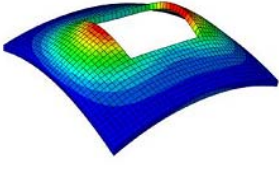
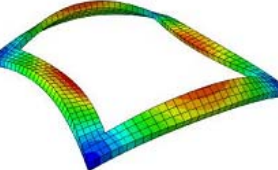
پوسته مشبک با ریب‌های ارتوتروپیک

به منظور بررسی پوسته مشبک با ریب‌های ارتوتروپیک، در این قسمت پوسته‌ای با خواص ماده زیر در نظر می‌شود و اثر نسبت ارتوتروپی در سه مود ابتدایی بین نتایج تئوری حاضر و حل عددی مقایسه می‌شود.

$$\frac{E_{bay}}{E_{rib1}} = 1$$

$$\nu_{bay} = \nu_{rib} = 0.25$$

$$\frac{\rho_{bay}}{\rho_{rib1}} = \frac{\rho_{rib1}}{\rho_{rib2}} = 1$$

ابعاد حفره ابعاد کل پوسته	فرکانس طبیعی (HZ) (m,n)=(1,1)		ابعاد حفره ابعاد کل پوسته	فرکانس طبیعی (HZ) (m,n)=(1,1)	
	تئوری ارائه شده	تحلیل المان محدود		تئوری ارائه شده	تحلیل المان محدود
۰/۱۷		۰/۰۰۰۹۹۷		۰/۰۰۰۷۹۲	۰/۰۰۰۹۲۸
		۰/۰۰۰۸۴۶	۰/۶۹		۰/۰۰۰۸۴۶

جدول ۷- مقایسه فرکانس طبیعی بین نتایج تئوری حاضر و حل المان محدود در پوسته مشبک دو انحنائی و به ازای $\frac{E_{bay}}{E_{rib}} = 1$ و نسبت‌های مختلف ρ_{bay}/ρ_{rib}

$\frac{\rho_{bay}}{\rho_{rib}}$	فرکانس طبیعی (Hz) (m,n)=(1,1)		درصد اختلاف
	تئوری ارائه شده	تحلیل المان محدود	
۱	۰/۰۰۰۸۲۲	۰/۰۰۰۸۸۶	-۷/۲۲
۰/۹	۰/۰۰۰۸۴۶	۰/۰۰۰۹۱۳	-۷/۳۴
۰/۸	۰/۰۰۰۸۷۴	۰/۰۰۰۹۴۲	-۷/۲۲
۰/۵	۰/۰۰۰۹۷۴	۰/۰۰۱۰۵۱	-۷/۳۳
۰/۳	۰/۰۰۱۰۶۱	۰/۰۰۱۱۱۵	-۷/۷۴
۰/۱	۰۰۱۱۸۲	۰/۰۰۱۲۸۲	-۷/۸
۰	۰/۰۰۱۲۶۱	۰/۰۰۱۳۶۷	-۷/۷۵

جدول ۸- مقایسه فرکانس طبیعی بین نتایج تئوری حاضر و حل المان محدود در پوسته مشبک دو انحنائی و به ازای نسبت‌های مختلف E_{bay}/E_{rib}

$\frac{E_{bay}}{E_{rib}}$	فرکانس طبیعی (Hz) (m,n)=(1,1)		درصد اختلاف
	تئوری ارائه شده	تحلیل المان محدود	
۱	۰/۰۰۰۸۲۲	۰/۰۰۰۸۸۶	-۷/۲۲
۰/۹	۰/۰۰۰۸۰۲	۰/۰۰۰۸۶	-۶/۷۴
۰/۸	۰/۰۰۰۷۸۱	۰/۰۰۰۸۳۱	-۶/۰۲
۰/۵	۰/۰۰۰۷۱۳	۰/۰۰۰۷۲۲	-۱/۲۵
۰/۳	۰/۰۰۰۶۶۶	۰/۰۰۰۶۱۵	۸/۲۹
۰/۱	۰/۰۰۰۶۰۷	۰/۰۰۰۴۲۴	۴۲/۱۶

همچنین ابعاد پوسته مشبک نیز به صورت شکل (۱۳) است:

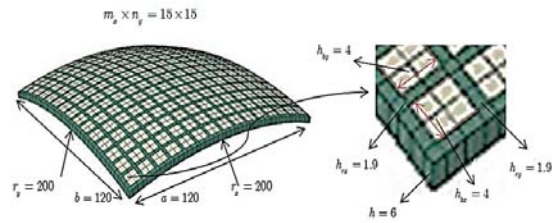
جدول ۵- مقایسه فرکانس طبیعی بین نتایج تئوری حاضر و حل المان محدود در پوسته دو انحنائی با یک حفره و به ازای نسبت‌های مختلف ρ_{bay}/ρ_{rib}

$\frac{\rho_{bay}}{\rho_{rib}}$	فرکانس طبیعی (Hz) (m,n)=(1,1)		درصد اختلاف
	تئوری ارائه شده	تحلیل المان محدود	
۱	۰/۰۰۰۸۲۲	۰/۰۰۰۸۸۶	۷/۲۲
۰/۹	۰/۰۰۰۸۴۴	۰/۰۰۰۸۹	-۵/۱۷
۰/۸	۰/۰۰۰۸۶۷	۰/۰۰۰۸۹۵	-۳/۱۲
۰/۵	۰/۰۰۰۹۵۲	۰/۰۰۰۹۰۹	۴/۷۳
۰/۳	۰/۰۰۱۰۲۵	۰/۰۰۰۹۱۸	۱۱/۶۶
۰/۱	۰/۰۰۱۱۱۸	۰/۰۰۰۹۲۷	۲۰/۶
۰	۰/۰۰۱۱۷۵	۰/۰۰۰۹۳۱	۲۶/۲۱

جدول ۶- مقایسه فرکانس طبیعی بین نتایج تئوری حاضر و حل المان محدود در پوسته دو انحنائی با یک حفره و به ازای $\frac{E_{bay}}{E_{rib}} = 1$ و نسبت‌های مختلف E_{bay}/E_{rib}

$\frac{E_{bay}}{E_{rib}}$	فرکانس طبیعی (Hz) (m,n)=(1,1)		درصد اختلاف
	تئوری ارائه شده	تحلیل المان محدود	
۱	۰/۰۰۰۸۲۲	۰/۰۰۰۸۸۶	-۷/۲۲
۰/۹	۰/۰۰۰۸۱۹	۰/۰۰۰۸۸۴	-۷/۳۵
۰/۸	۰/۰۰۰۸۱۵	۰/۰۰۰۸۸۱	۷/۴۹
۰/۵	۰/۰۰۰۸۰۴	۰/۰۰۰۸۷۱	-۷/۶۹
۰/۳	۰/۰۰۰۷۹۸	۰/۰۰۰۸۵۹	-۷/۱
۰/۱	۰/۰۰۰۷۴۴	۰/۰۰۰۸۱	-۸/۱۵
۰/۰۱	۰/۰۰۰۷۳۵	۰/۰۰۰۷۷۶	-۵/۲۸

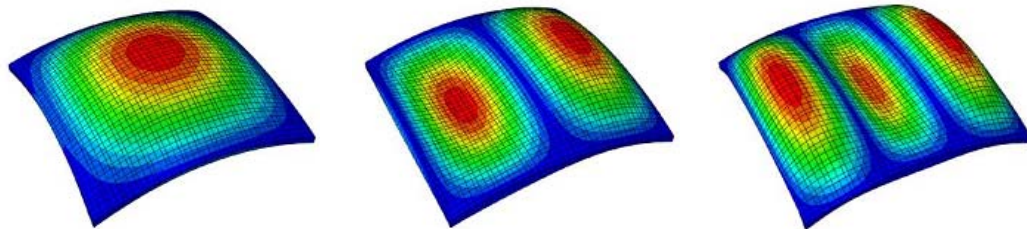
در جدول (۹) که برخلاف موارد قبلی جنس ریب‌ها ارتوتروپیک است، سه مود ابتدایی برای نسبت‌های ارتوتروپیی مختلف بین نتایج حاصل از تئوری حاضر و حل به کمک المان محدود باهم مقایسه شده‌اند. نتایج نشان می‌دهد که با افزایش نسبت ارتوتروپیی و افزایش شماره مود، فرکانس طبیعی نیز افزایش پیدا می‌کند.



شکل ۱۳- نمایش پارامترهای هندسی بر روی پوسته

جدول ۹- مقایسه فرکانس طبیعی بین نتایج تئوری حاضر و حل المان محدود در پوسته مشبک دو انحنائی و به ازای نسبت‌های مختلف E_{rib1}/E_{rib2}

E_{rib1}/E_{rib2}	فرکانس طبیعی (Hz) (m=1)								
	n=1			n=2			n=3		
	FEM	تئوری حاضر	درصد اختلاف	FEM	تئوری حاضر	درصد اختلاف	FEM	تئوری حاضر	درصد اختلاف
۱	۰/۰۰۰۸۶۶	۰/۰۰۰۸۲۲	-۵/۰۸	۰/۰۰۰۹۸۶	۰/۰۰۱۰۱۳	۲/۷۴	۰/۰۰۱۳۹	۰/۰۰۱۴۹۳	۷/۴۱
۲	۰/۰۰۰۰۸۸۵	۰/۰۰۰۰۸۳۹	-۵/۲	۰/۰۰۱۰۲۶	۰/۰۰۱۰۲۴	-۰/۱۹	۰/۰۰۱۴۶۵	۰/۰۰۱۵۰۱	۲/۴۶
۳	۰/۰۰۰۰۹۰۱	۰/۰۰۰۰۸۵۵	-۵/۱۱	۰/۰۰۱۰۰۶	۰/۰۰۱۰۳۵	-۲/۳۶	۰/۰۰۱۵۳	۰/۰۰۱۵۰۹	-۱/۳۷
۴	۰/۰۰۰۰۹۱۵	۰/۰۰۰۰۸۷۲	-۴/۷	۰/۰۰۱۰۸۹	۰/۰۰۱۰۴۶	-۳/۹۵	۰/۰۰۱۵۸۶	۰/۰۰۱۵۱۷	-۴/۳۵
۱۰	۰/۰۰۰۰۹۷	۰/۰۰۰۰۹۵۲	۸	۰/۰۰۱۲۱۷	۰/۰۰۱۱۰۱	-۹/۵۳	۰/۰۰۱۸۴۳	۰/۰۰۱۵۶۱	-۱۵/۳



مشاهدات در مورد پوسته‌های مشبک، گویای این مطلب است که با افزایش نسبت تعداد خانه‌ها در آن‌ها نسبت به کل پوسته، دقت تئوری حاضر در مقایسه با حل عددی بالاتر می‌رود و بنابراین در استفاده از این تئوری، این نکته باید مدنظر قرار گیرد. در پوسته‌های مشبک با ریب‌هایی با جنس غیرهمسانگرد، مشاهده شد که با افزایش نسبت ارتوتروپیی فرکانس طبیعی افزایش پیدا می‌کند؛ به‌علاوه با افزایش شماره مودها نیز این افزایش مشاهده می‌شود.

تعارض منافع

هیچگونه تعارض منافی توسط نویسندگان بیان نشده است.

مراجع

- [1] C. Omid'Varan, "Free vibration of grid-stiffened plates." *Journal of Sound and Vibration*, Vol. 19, No. 4, pp. 463-472, 1971.

نتیجه‌گیری

در پوسته‌های کامپوزیتی دو انحناء، مشاهده می‌شود که در ابتدا با افزایش نسبت ارتوتروپیی E_1/E_2 پارامتر فرکانسی به ازای $r_x/r_y = 1$ مقادیر بالاتری را نسبت به $r_x/r_y = -1$ دارد و بعد از آن پارامتر فرکانسی در $r_x/r_y = 1$ کمتر از $r_x/r_y = -1$ می‌گردد. همچنین در این پوسته‌ها با افزایش h/a پارامتر فرکانسی افزایش می‌یابد. همواره ملاحظه می‌شود که با افزایش نسبت ارتوتروپیی E_1/E_2 پارامتر فرکانسی افزایش پیدا می‌کند و در نسبت‌های بالاتر این تغییرات کاهش می‌یابد.

در مورد پوسته‌های مشبک مشخص شد که با افزایش نسبت ابعادی حفره به ابعاد کل پوسته نتایج حاصل از تئوری حاضر و حل عددی اختلاف زیادی باهم پیدا می‌کنند و این نشان می‌دهد که تئوری مذکور که اصولاً یک تئوری پوسته است، در محدوده مشخصی قادر به پاسخگویی در سازه مشبک است.

- sandwich shells." *Journal of Sandwich Structures and Materials*, Vol. 8, No. 3, pp. 205-235, 2006.
- [13] C.W. Bert, "Structural theory for laminated anisotropic elastic shells." *Journal of Composite Materials*, Vol. 1, No. 4, pp. 414-423, 1967.
- [14] A. Leissa and J.-D. Chang, "Elastic deformation of thick, laminated composite shells." *Composite structures*, Vol. 35, No. 2, pp. 153-170, 1996.
- [15] J. Ye and K. Soldatos, "Three-dimensional vibration of laminated cylinders and cylindrical panels with symmetric or antisymmetric cross-ply lay-up." *Composites Engineering*, Vol. 4, No. 4, pp. 429-444, 1994.
- [16] M.S. Qatu, *Vibration of laminated shells and plates*: Elsevier, 2004.
- [17] J.N. Reddy, *Energy principles and variational methods in applied mechanics*: John Wiley & Sons, 2002.
- [18] G. Li and J. Cheng, "A generalized analytical modeling of grid stiffened composite structures." *Journal of Composite Materials*, Vol. 41, No. 24, pp. 2939-2969, 2007.
- [19] A. Bhimaraddi, "Free vibration analysis of doubly curved shallow shells on rectangular planform using three-dimensional elasticity theory." *International Journal of Solids and Structures*, Vol. 27, No. 7, pp. 897-913, 1991.
- [20] M. Zarei, G.H. Rahimi, M. Hemmatnezhad, "Free vibrational characteristics of grid-stiffened truncated composite conical shells," *Aerospace Science and Technology*, Vol. 99, 2020, 105717.
- [21] T. Liu, Zh. Min Li, P. Qiao, S. Jin, "A novel C1 continuity finite element based on Mindlin theory for doubly-curved laminated composite shells," *Thin-Walled Structures*, Vol. 167, 2021, 108155.
- [22] M. Qatu, "Theory and vibration analysis of laminated barrel thin shells," *Journal of Vibration and Control*, pp. 851-889, 1999.
- [2] C. Omid'Varan, and W. Delagarza, "Vibration of monolithic grid-stiffened plates." *Journal of Sound and Vibration*, Vol. 26, No. 1, pp. 21-28, 1973.
- [3] R.K. Khare, V. Rode, A.K. Garg, and S.P. John, "Higher-order closed-form solutions for thick laminated sandwich shells." *Journal of Sandwich Structures and Materials*, Vol. 7, No. 4, pp. 335-358, 2005.
- [4] M. Toorani, and A. Lakis, "Free vibrations of non-uniform composite cylindrical shells." *Nuclear Engineering and Design*, Vol. 236, No. 17, pp. 1748-1758, 2006.
- [5] C.K. Kundu and J.H. Han, "Vibration characteristics and snapping behavior of hygro-thermo-elastic composite doubly curved shells." *Composite Structures*, Vol. 91, No. 3, pp. 306-317, 2009.
- [6] S. Chorf and A. Houmat, "Non-linear free vibration of a functionally graded doubly-curved shallow shell of elliptical plan-form." *Composite Structures*, Vol. 92, No. 10, pp. 2573-2581, 2010.
- [7] K. Sayad, "Analytical study of the effect of shear between the layers on the local buckling of a polymer composite lattice cylinder under compressive axial load." *10th Conference of Iranian Aerospace Society, Iranian Aerospace Society*, 2010 (in Persian).
- [8] J. Mantari and C. Guedes Soares, "Analysis of isotropic and multilayered plates and shells by using a generalized higher-order shear deformation theory." *Composite Structures*, Vol. 94, No. 8, pp. 2640-2656, 2012.
- [9] P. Edalata, M.R. Khedmati and C.G. Soares, "Free vibration and dynamic response analysis of stiffened parabolic shells using equivalent orthotropic shell parameters." *Latin American Journal of Solids and Structures*, Vol. 10, No. 4, pp. 747-766, 2013.
- [10] S.S. Rao, *Vibration of Continuous Systems*, John Wiley and Sons, 2007.
- [11] K. Liew and C. Lim, "A higher-order theory for vibration of doubly curved shallow shells." *Journal of applied mechanics*, Vol. 63, No. 3, pp. 587-593, 1996.
- [12] A.K. Garg, R.K. Khare, and T. Kant, "Higher-order closed-form solutions for free vibration of laminated composite and